

BIOCHEMIE I - SEMINÁŘ

Vyučující: Doc. Mgr. **Pavel Bouchal**, Ph.D.

Tel. 54949 3251, 3252

e-mail: bouchal@chemi.muni.cz

Ústav biochemie PŘF MU

Kamenice 5, budova 05, místnost 208, 212

PROGRAM SEMINÁŘE

- Úvod+aminokyseliny
- Peptidy
- Bílkoviny
- Test 1
- Termodynamika enzymových reakcí
- Úvod do enzymové kinetiky
- Sacharidy a lipidy - struktura
- Test 2
- Metabolismus sacharidů
- Metabolismus lipidů, citrátový cyklus
- Respirační řetězec a fotosyntéza
- Test 3

Opravné termíny zápočtu

LITERATURA

- Elektronická skripta Úlohy z biochemie, V. Mikeš
- Prezentace
(IS MU: Studijní materiály/Učební materiály/Bouchal)

PODMÍNKY ZÍSKÁNÍ ZÁPOČTU

- Účast ve výuce: povolena 1 neomluvená absence (nemoc – lékařské potvrzení na studijní oddělení => omluva)
- Testy (3), min. 50% z **celkového** počtu bodů => zápočet v řádném termínu
- Souhrnný test z učiva celého předmětu => zápočet v 1. (2.) opravném termínu

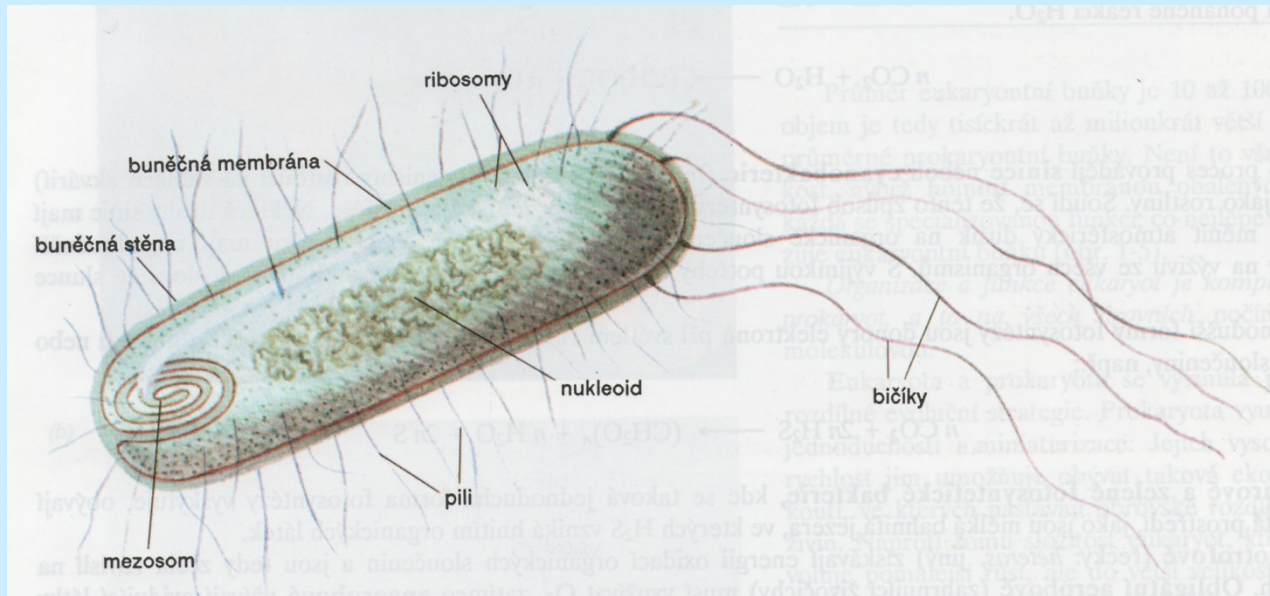
Zdroje obrázků:

Voet D., Voetová J.G.: Biochemie. Victoria Publishing Praha, 1995.

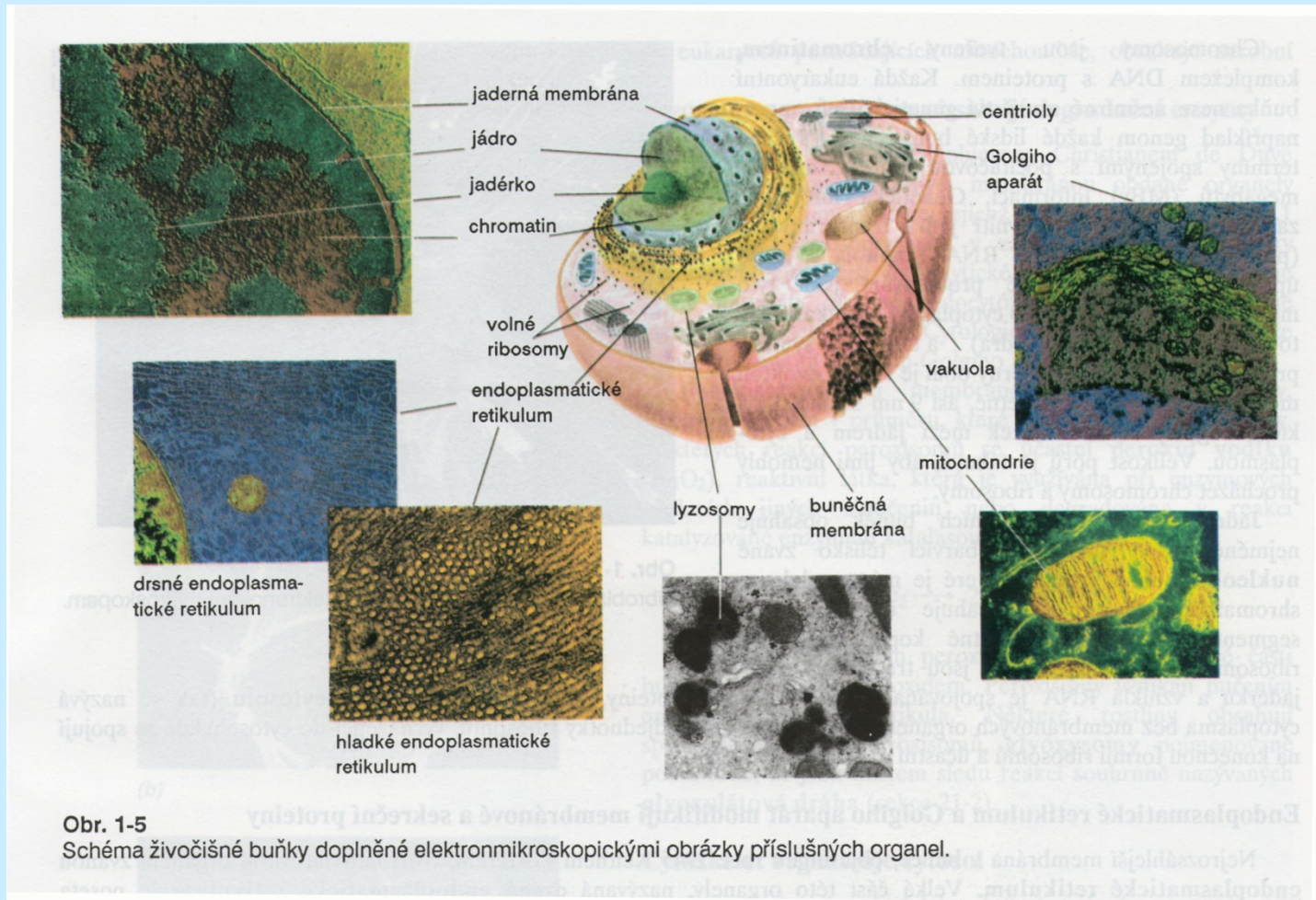
Potáček, M.: Organická chemie pro biology. Masarykova univerzita, Brno 1995.

Mikeš, V.:

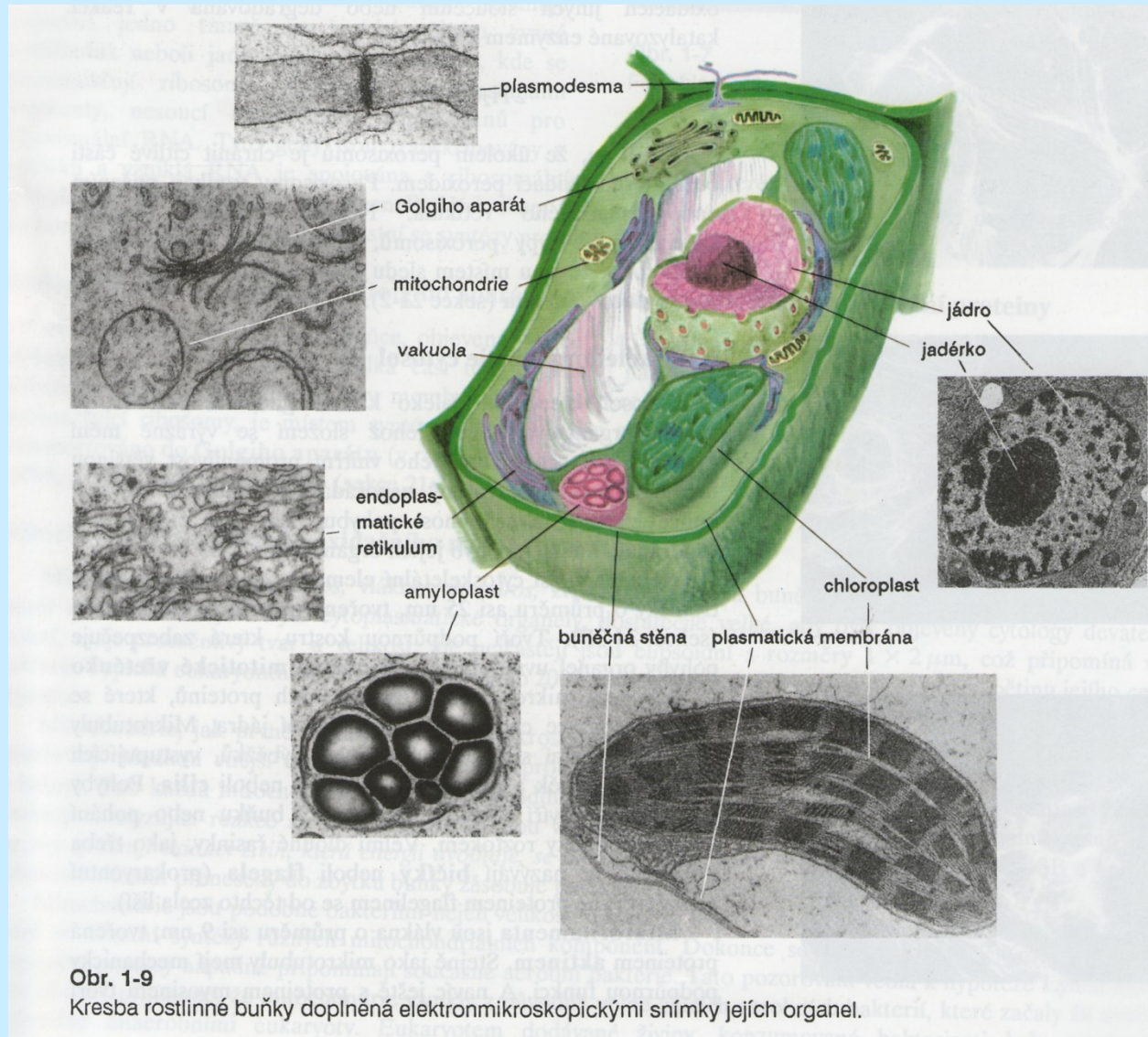
PROKARYOTICKÁ BUŇKA



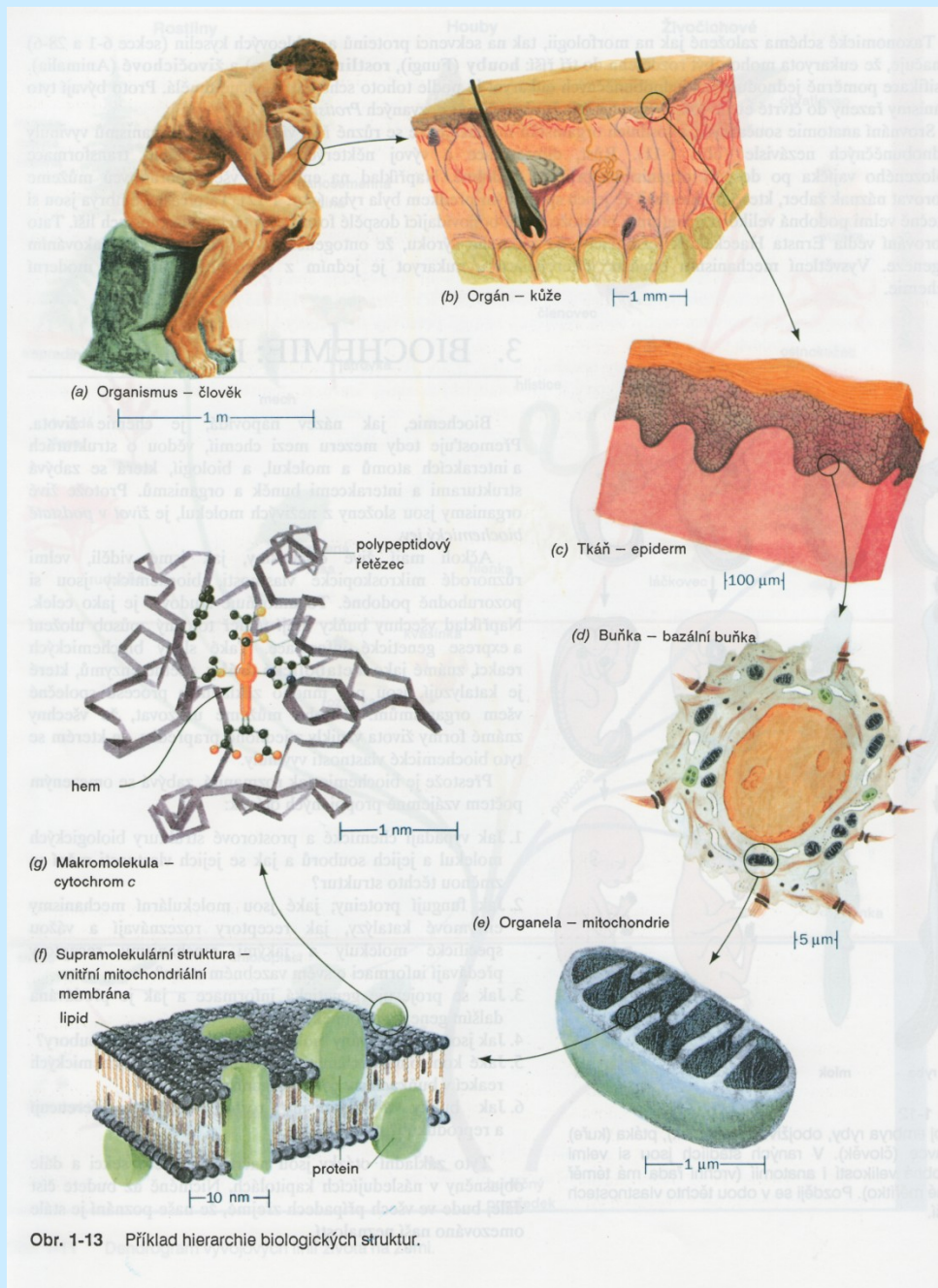
EUKARYOTICKÁ BUŇKA - ŽIVOČIŠNÁ



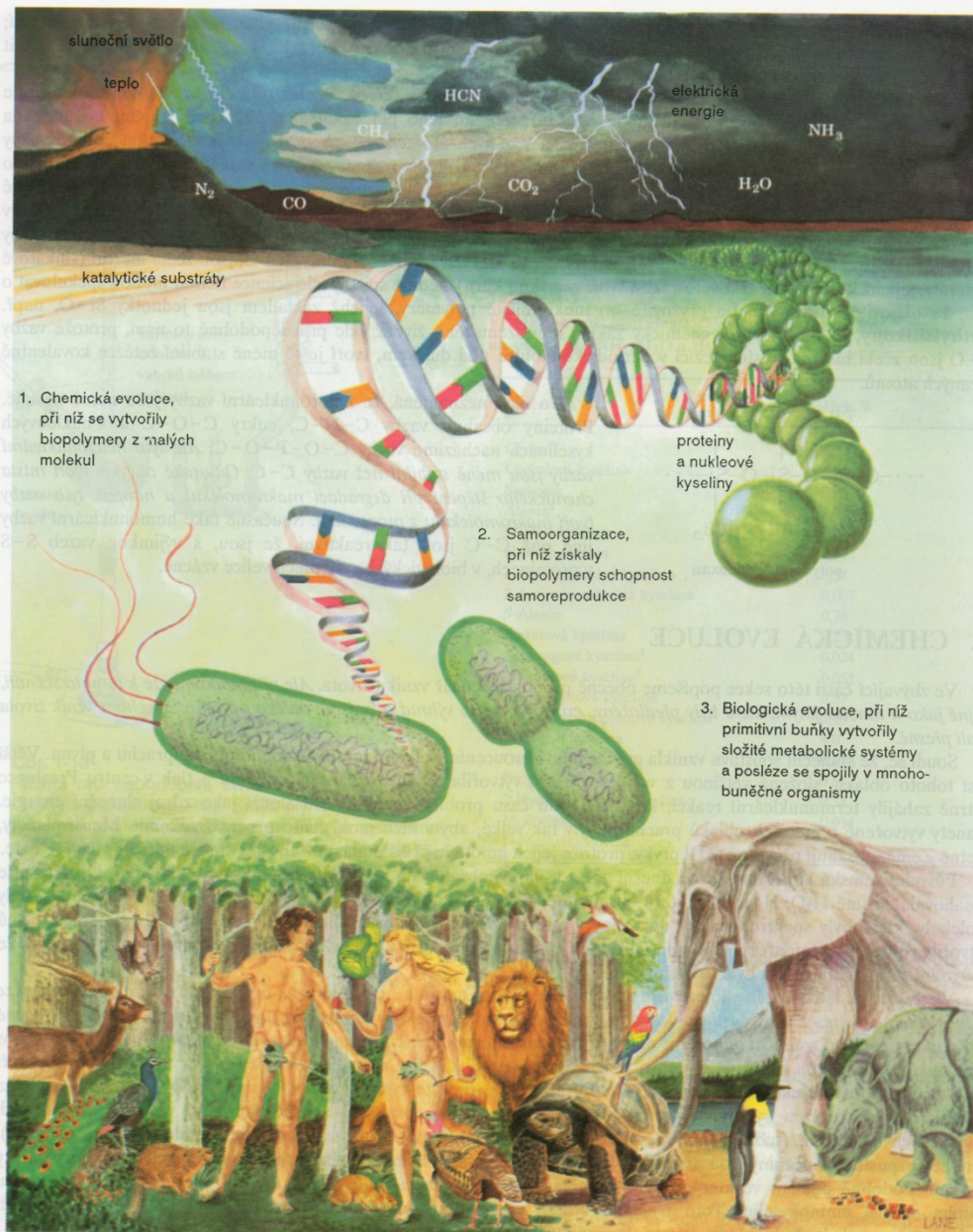
EUKARYOTICKÁ BUŇKA - ROSTLINNÁ



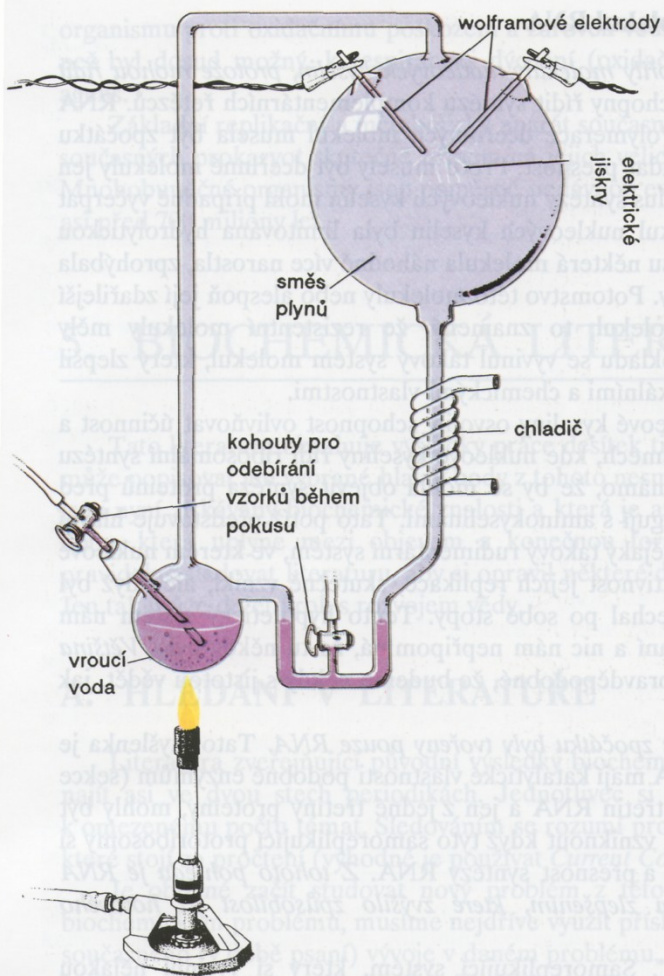
HIERARCHIE BIOLOGICKÝCH STRUKTUR



Obr. 1-13 Příklad hierarchie biologických struktur.



Obr. 1-17 Život vznikl? Pravděpodobná odpověď je, že byl řízen Davisonovým principem přežití schopnějšího; podobně Tři stadia vývoje života. molekularní úroveň.



Obr. 1-18

Přístroj pro napodobení syntézy organických sloučenin na prebiotické Zemi. Směs plynů připomínající primitivní redukční zemskou atmosféru je vystavena elektrickým výbojům, které simulují účinek blesků, zatímco voda v systému cirkuluje tak, aby se nově vytvořené sloučeniny v ní rozpouštěly a akumulovaly.

Báze nukleových kyselin se také tvořily za předpokládaných prebiotických podmínek. Adenin vzniká kondenzací HCN, hojně složky prebiotické atmosféry, v reakci katalyzované NH_3 (sumární vzorec adeninu je $(\text{HCN})_5$). Ostatní báze byly syntetizovány podobnými reakcemi, jichž se účastnily HCN a H_2O . Cukry vznikly polymerací formaldehydu (CH_2O) v reakcích katalyzovaných dvojmocnými kationty, oxidem hliníovým, nebo jíly. Asi není náhoda, že tyto látky jsou základními složkami biologických molekul. *Zjevně to byly nejobvyklejší organické sloučeniny v prebiotických časech.*

Tabulka 1-3

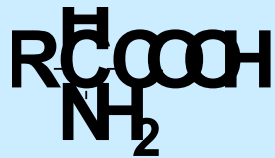
Výtěžky po působení elektrických výbojů na směs CH_4 , NH_3 , H_2O a H_2

Sloučenina	Výtěžek, %
Glycin ^a	2,1
Glykolová kyselina	1,9
Sarkosin	0,25
Alanin ^a	1,7
Mléčná kyselina	1,6
N-Methylalanin	0,07
2-Aminomáselná kyselina	0,34
2-Aminoisomáselná kyselina	0,007
β -Alanin	0,76
Jantarová kyselina	0,27
Asparagová kyselina ^a	0,024
Glutamová kyselina ^a	0,051
Iminodioxová kyselina	0,37
Iminoacetopropionová kyselina	0,13
Mravenčí kyselina	4,0
Octová kyselina	0,51
Propionová kyselina	0,66
2-Hydroxomáselná kyselina	0,34
Močovina	0,034
N-Methylmočovina	0,051

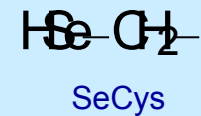
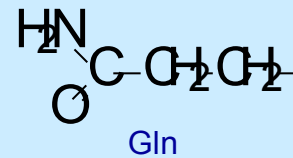
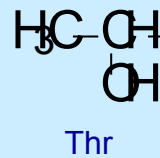
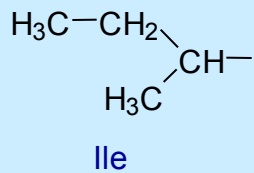
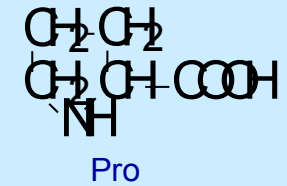
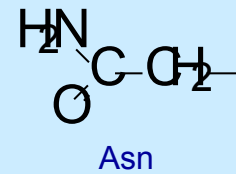
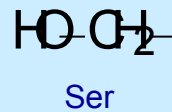
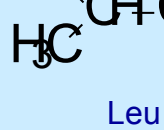
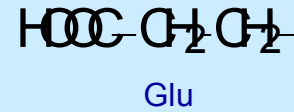
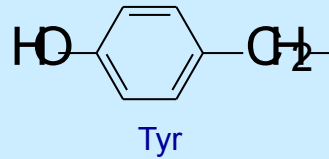
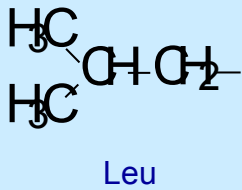
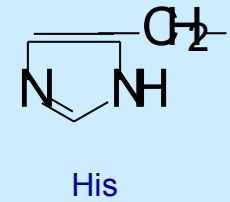
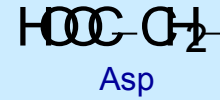
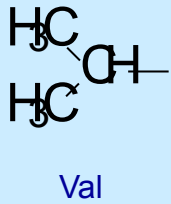
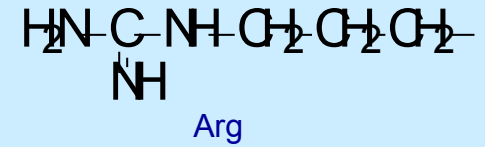
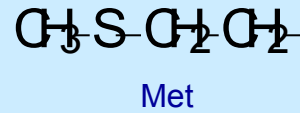
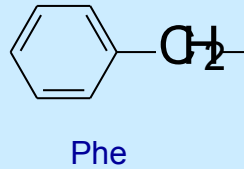
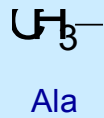
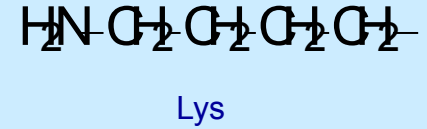
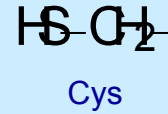
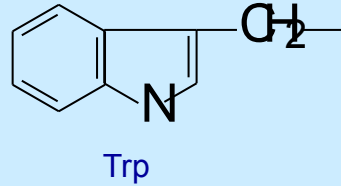
^aPřirozené složky proteinů.

Tabulka 1-1
Molekulové složení *E. coli*

Složka	Hmotnostní procento
H ₂ O	70
Proteiny	15
DNA	1
RNA	6
Polysacharidy a jejich prekurzory	3
Lipidy a jejich prekurzory	2
Ostatní malé organické molekuly	1
Anorganické ionty	1



PŘEHLED AMINOKYSELIN



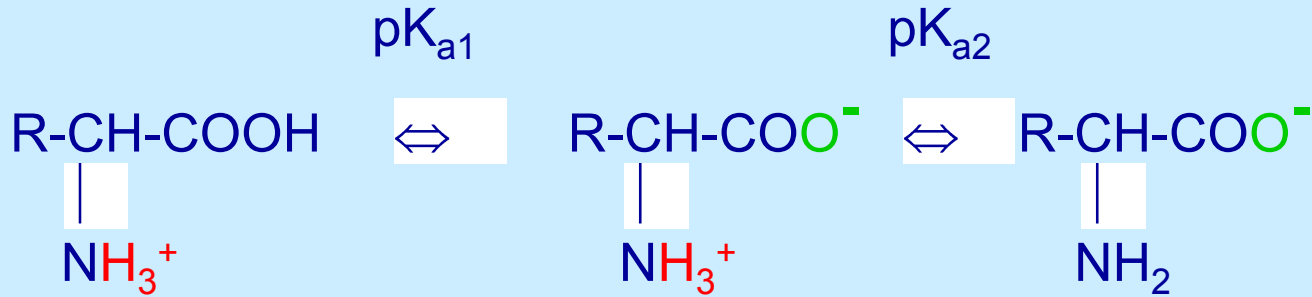
JEDNO- A TŘÍPÍSMENNÉ ZKRATY AMINOKYSELIN

Aminokyselina	Třípísmenná zkratka	Jednopísmenná zkratka ^a	Aminokyselina	Třípísmenná zkratka	Jednopísmenná zkratka ^a
Alanin	Ala	A	Histidin	His	H
Arginin	Arg	R	Isoleucin	Ile	I
Asparagin	Asn	N	Leucin	Leu	L
Asparagová kys.	Asp	D	Lysin	Lys	K
Asparagin nebo asparagová kys.	Asx	B	Methionin	Met	M
Cystein	Cys	C	Prolin	Pro	P
Fenylalanin	Phe	F	Serin	Ser	S
Glutamin	Gln	Q	Threonin	Thr	T
Glutamová kys.	Glu	E	Tryptofan	Trp	W
Glutamin nebo glutamová kys.	Glx	Z	Tyrosin	Tyr	Y
Glycin	Gly	G	Valin	Val	V

^a Písmenem X se značí jednak neurčené aminokyseliny, jednak aminokyseliny nepatřící mezi základní.

DISOCIACE AMINOKYSELIN

I. DISOCIACE KARBOXYLOVÉ SKUPINY A AMINOSKUPINY



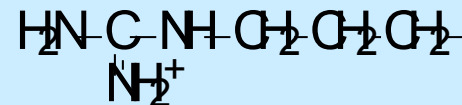
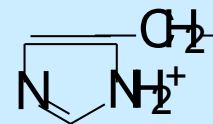
II. DISOCIACE BOČNÍHO ŘETĚZCE

- pK_{a3}
1. -R nedisociuje
 2. $-\text{RH} \rightleftharpoons -\text{R}^-$ KYSELÉ AK: protonovaná forma je nenabitá
 3. $-\text{RH}^+ \rightleftharpoons -\text{R}$ BAZICKÉ AK: protonovaná forma je kladně nabitá

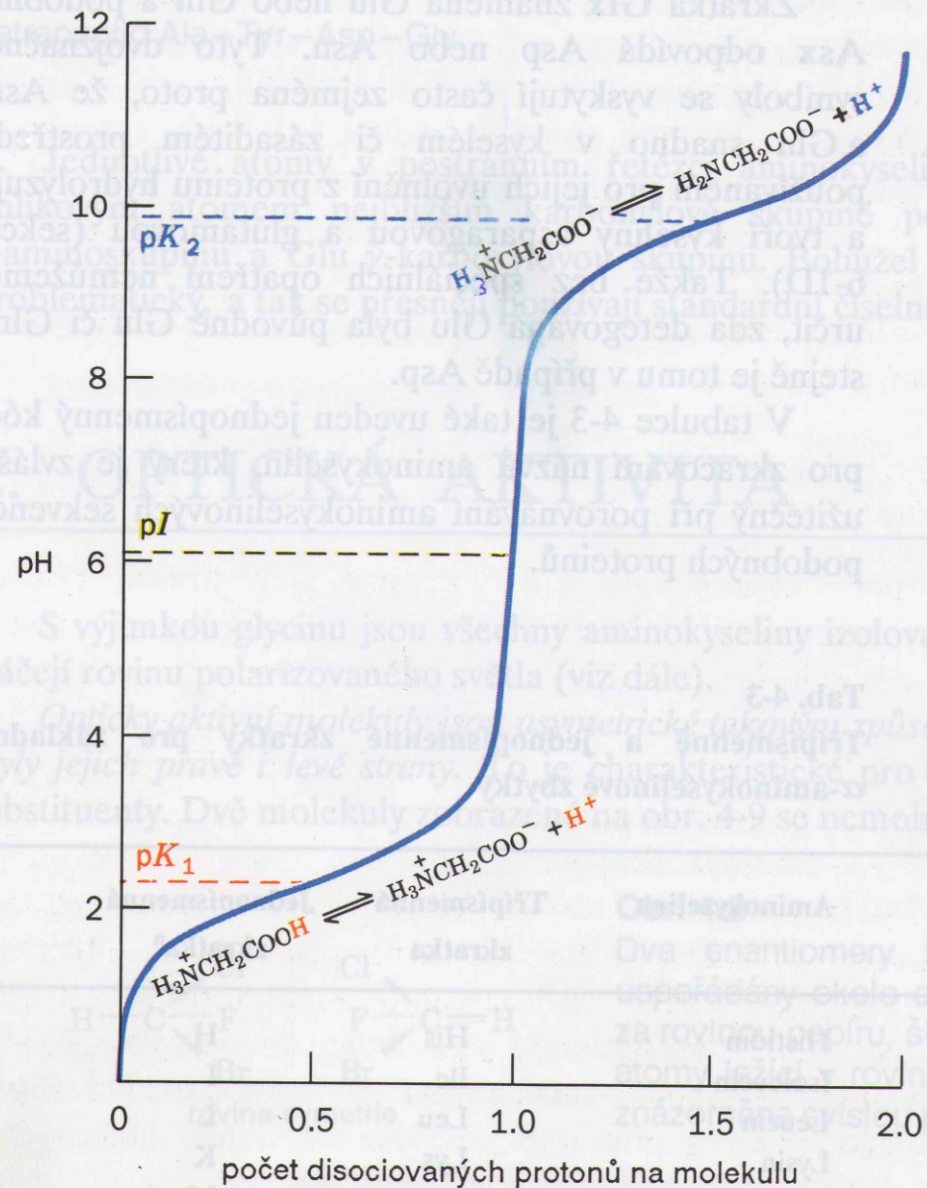
Typ disociace bočního řetězce a jeho náboj při daném pH lze rozlišit pouze na základě znalosti jeho chemické struktury!!!

DISOCIAČNÍ KONSTANTY AMINOKYSELIN

AK	pK_{a1}	pK_{a2}	$pK_{a3}=pK_a$ bočního řetězce	
• Ala	2.3	9.9		
• Gly	2.4	9.8		
• Phe	1.8	9.1		
• Ser	2.1	9.2		
• Val	2.3	9.6		
• Asp	2.0	10.0	3.9	-COOH
• Glu	2.2	9.7	4.3	-COOH
• His	1.8	9.2	6.0	-imidazolium
• Cys	1.8	10.8	8.3	-SH
• Tyr	2.2	9.1	10.9	-fenol
• Lys	2.2	9.2	10.8	-NH ₃ ⁺
• Arg	1.8	9.0	12.5	-guanidinium
• Asn	2.0	8.8		
• Gln	2.2	9.1		
• Trp	2.4	9.4		
• Leu	2.4	9.6		
• Ile	2.3	9.6		
• Met	2.3	9.2		
• Thr	2.2	9.1		
• Pro	2.0	10.6		



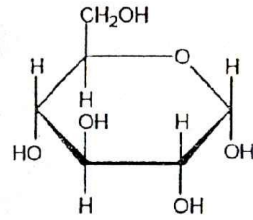
TITRAČNÍ KŘIVKA GLYCINU



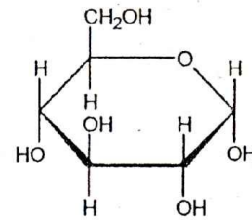
Obr. 4-5

Titrační křivka glycinu. Podobně jsou ionizovány také ostatní monoaminomonokarboxylové kyseliny.

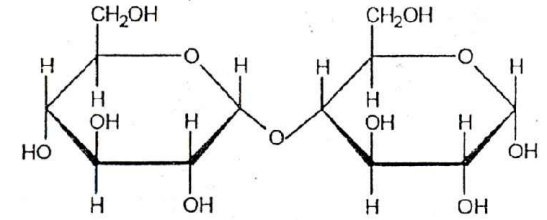
VYBRANÉ DISACHARIDY



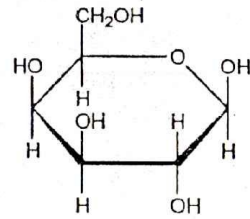
α - D - glukopyranosa



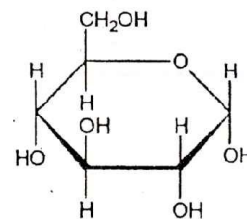
α - D - glukopyranosa



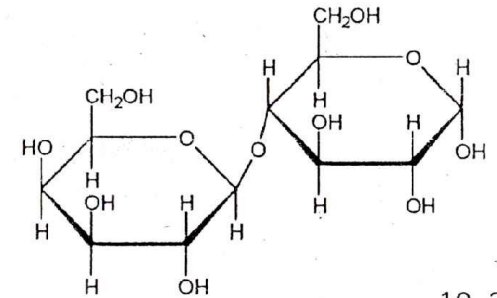
4-O- α -D-glukopyranosyl-D-glukopyranosa
(maltosa)



β - D - galaktopyranosa

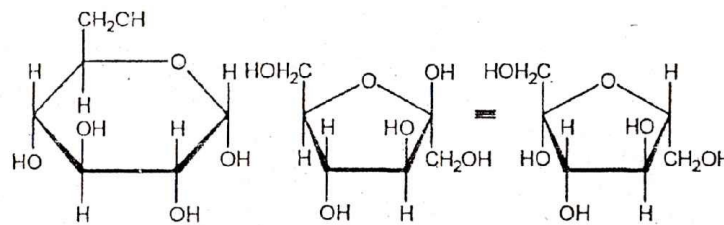


α - D - glukopyranosa



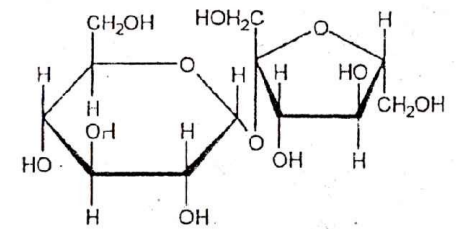
4-O- β -D-galaktopyranosyl-D-glukopyranosa
(laktosa)

19. 3. 1.



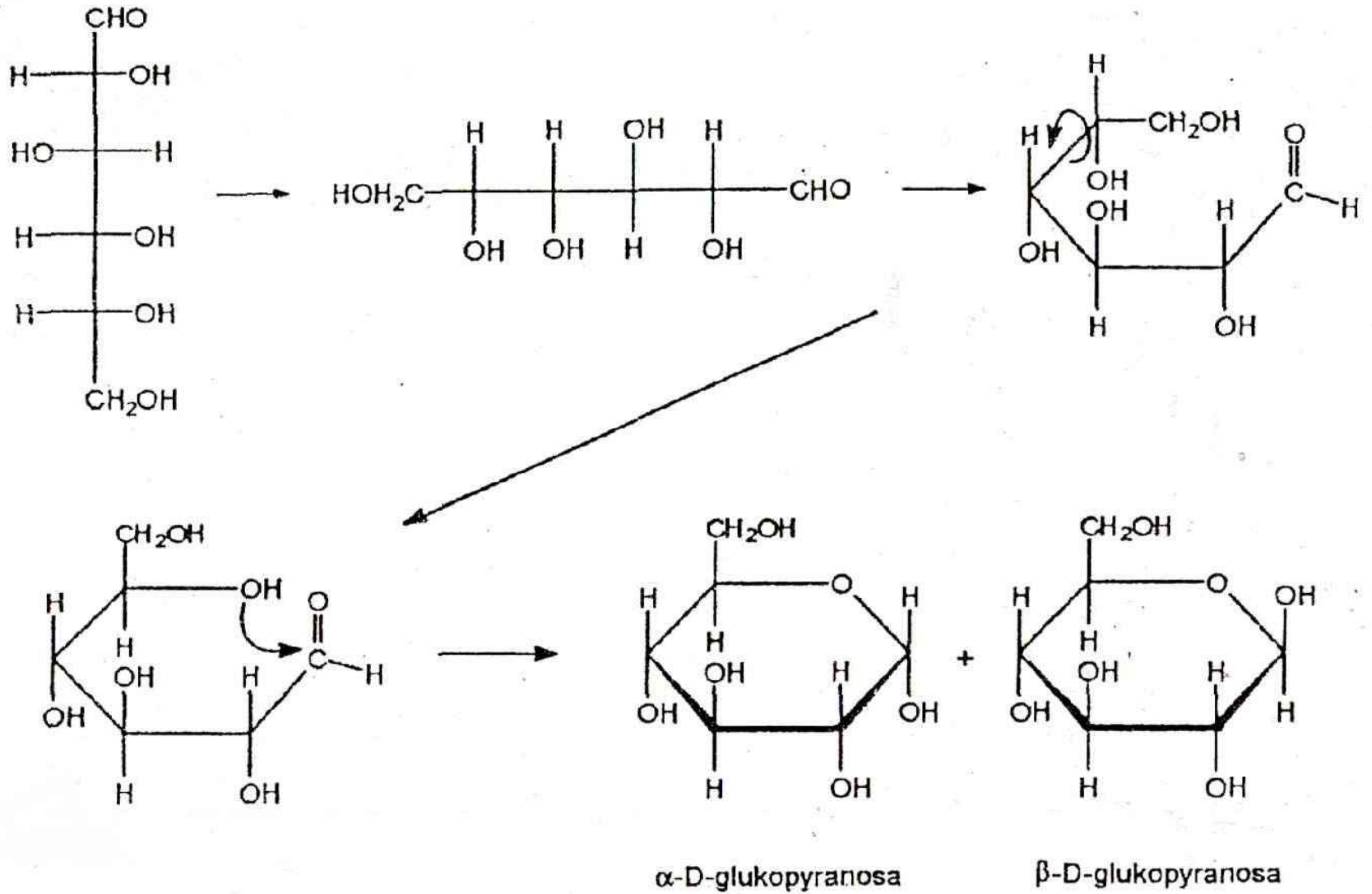
α - D - glukopyranosa

β - D - fruktofuranosa

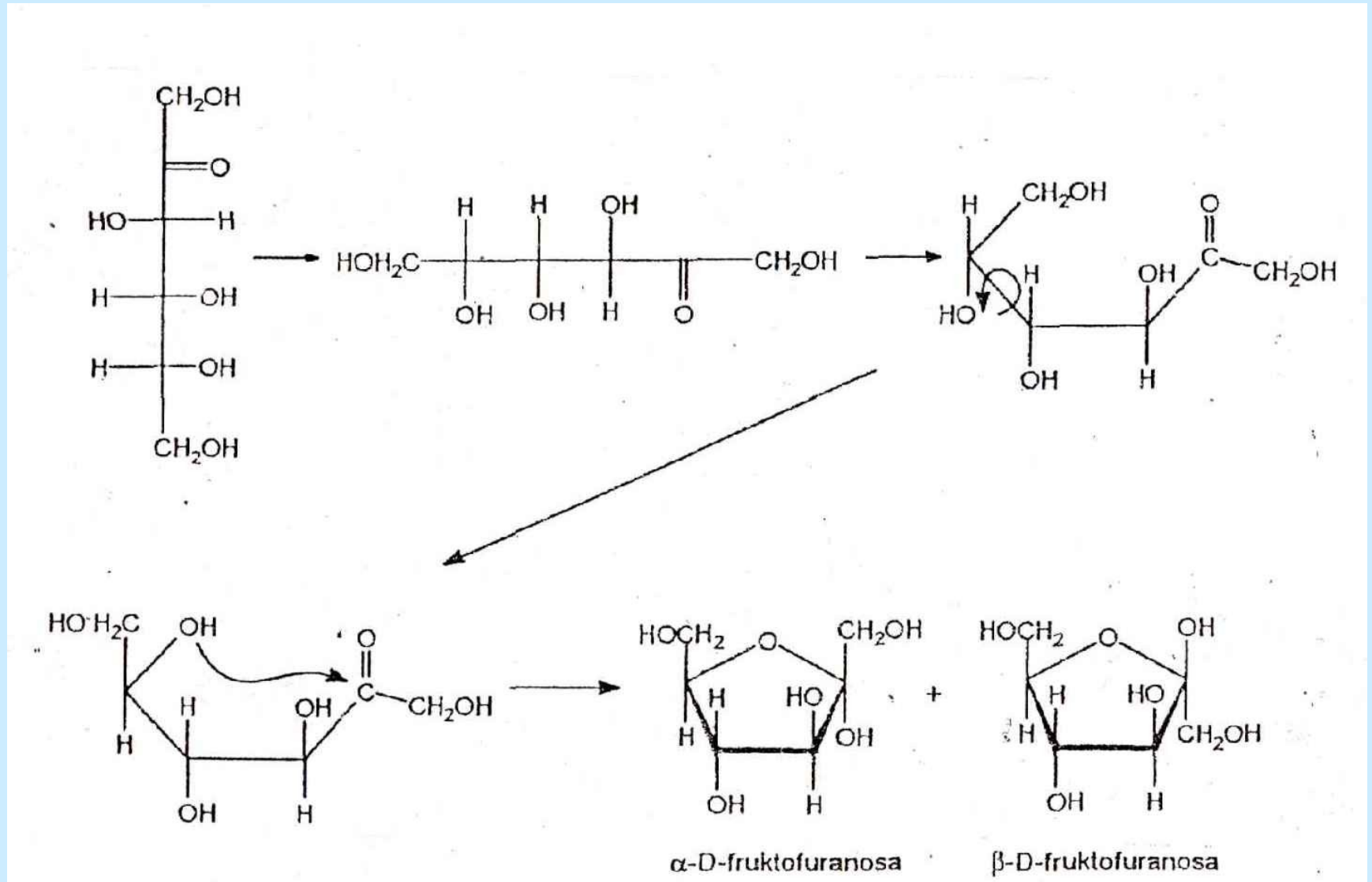


β -D-fruktofuranosyl- α -D-glukopyranosid
(sacharosa)

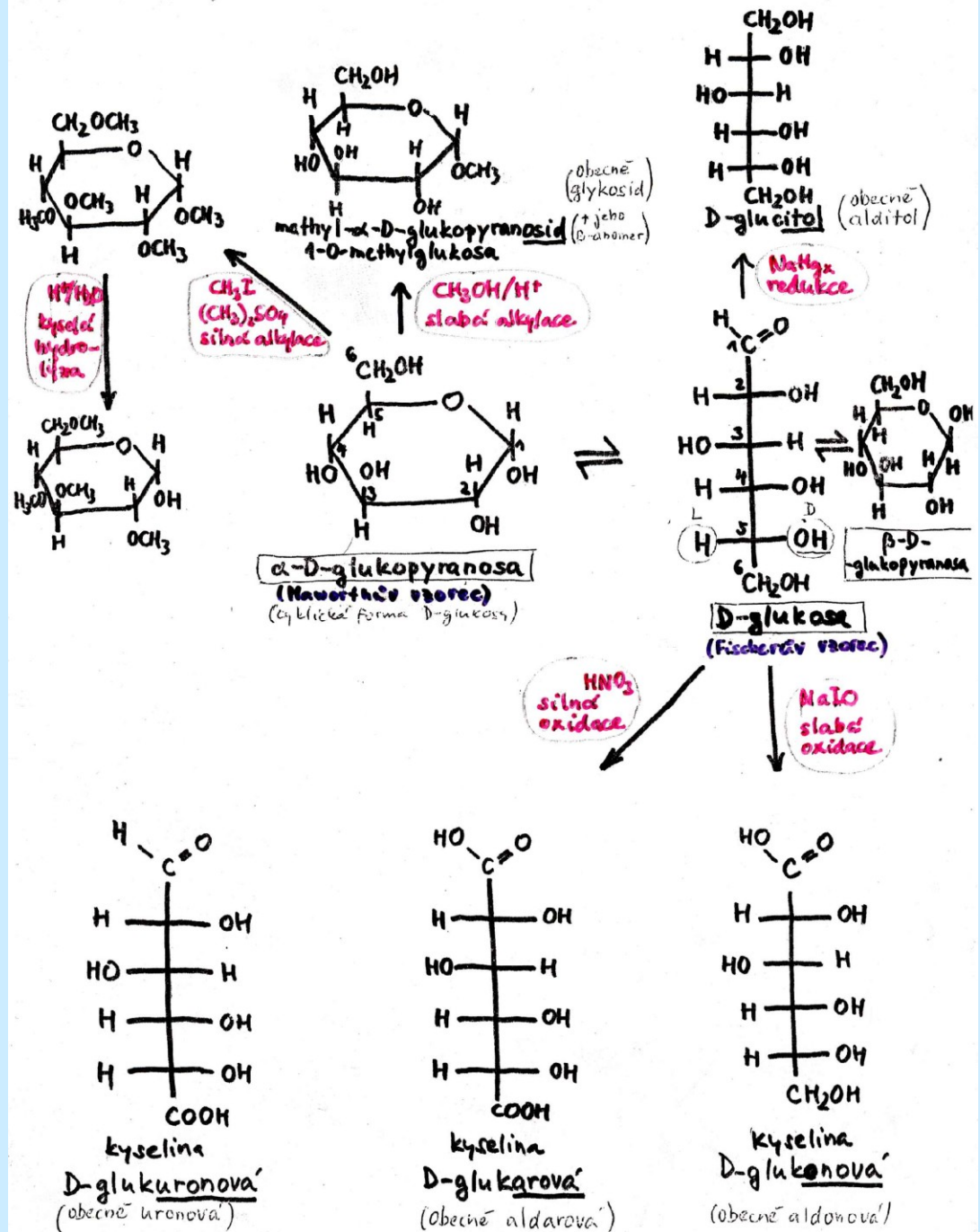
UZAVÍRÁNÍ CYKLU: ALDOSY



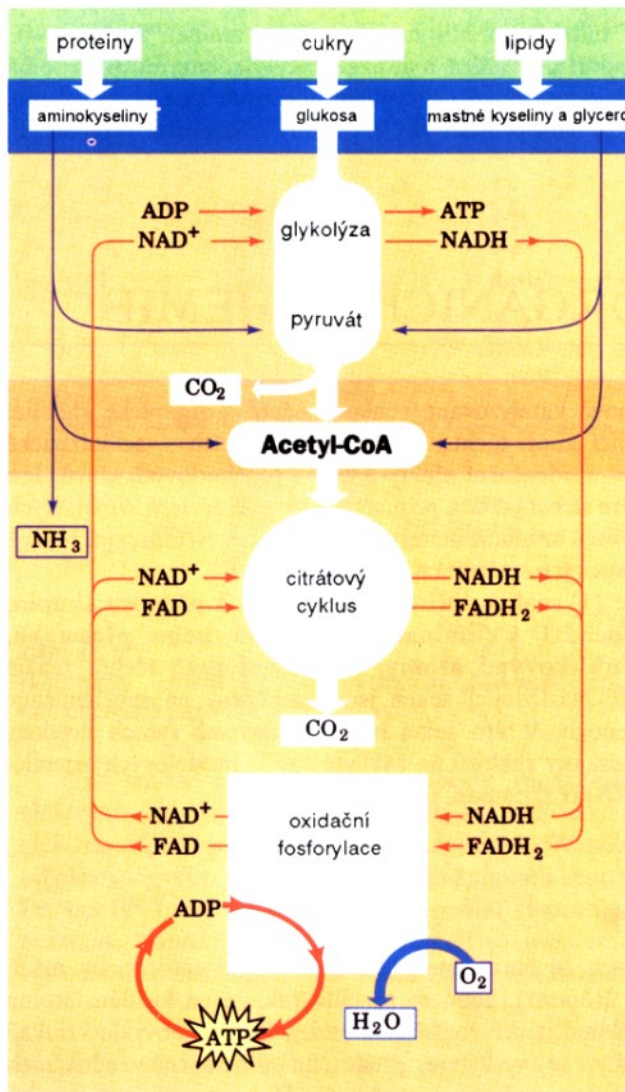
UZAVÍRÁNÍ CYKLU: KETOSY



VYBRANÉ CHEMICKÉ VLASTNOSTI MONOSACHARIDŮ

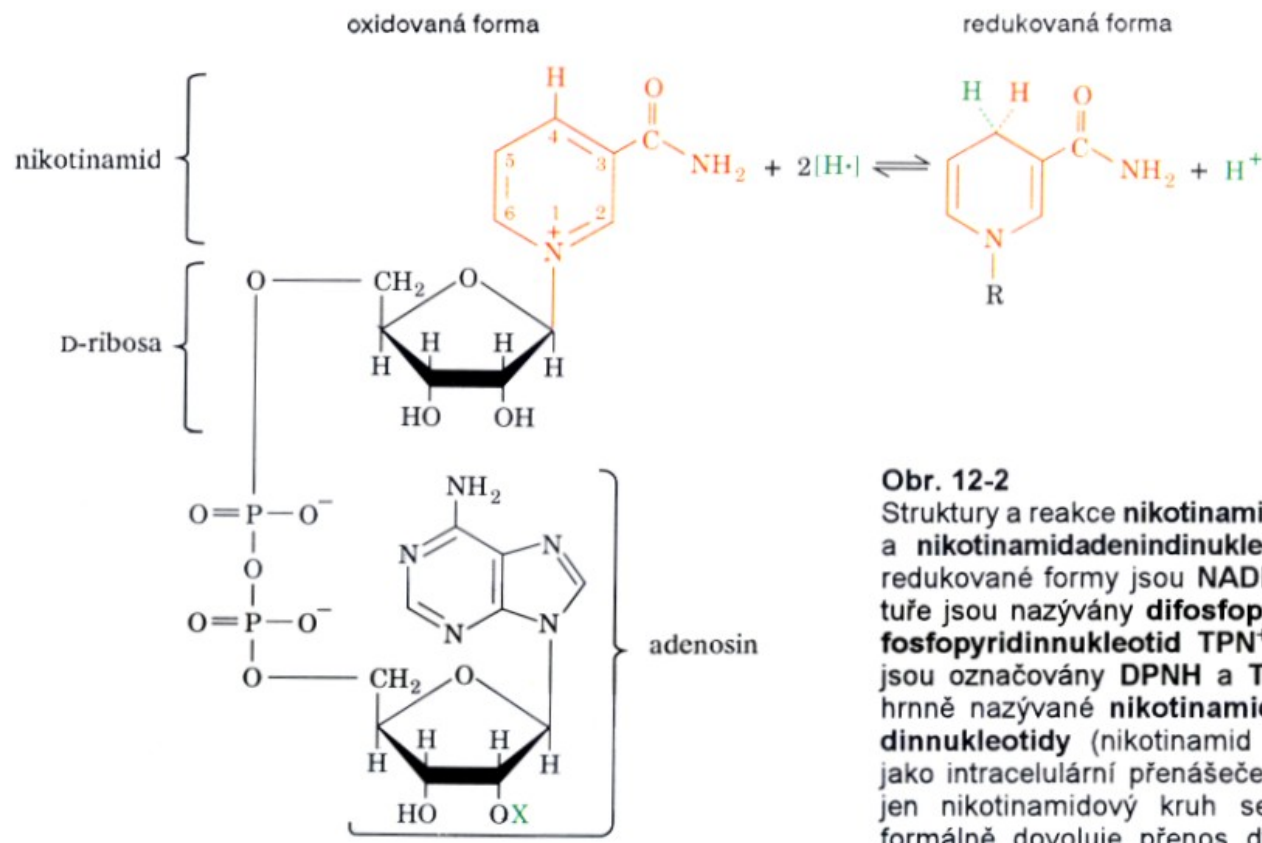


PŘEHLED AEROBNÍHO METABOLISMU



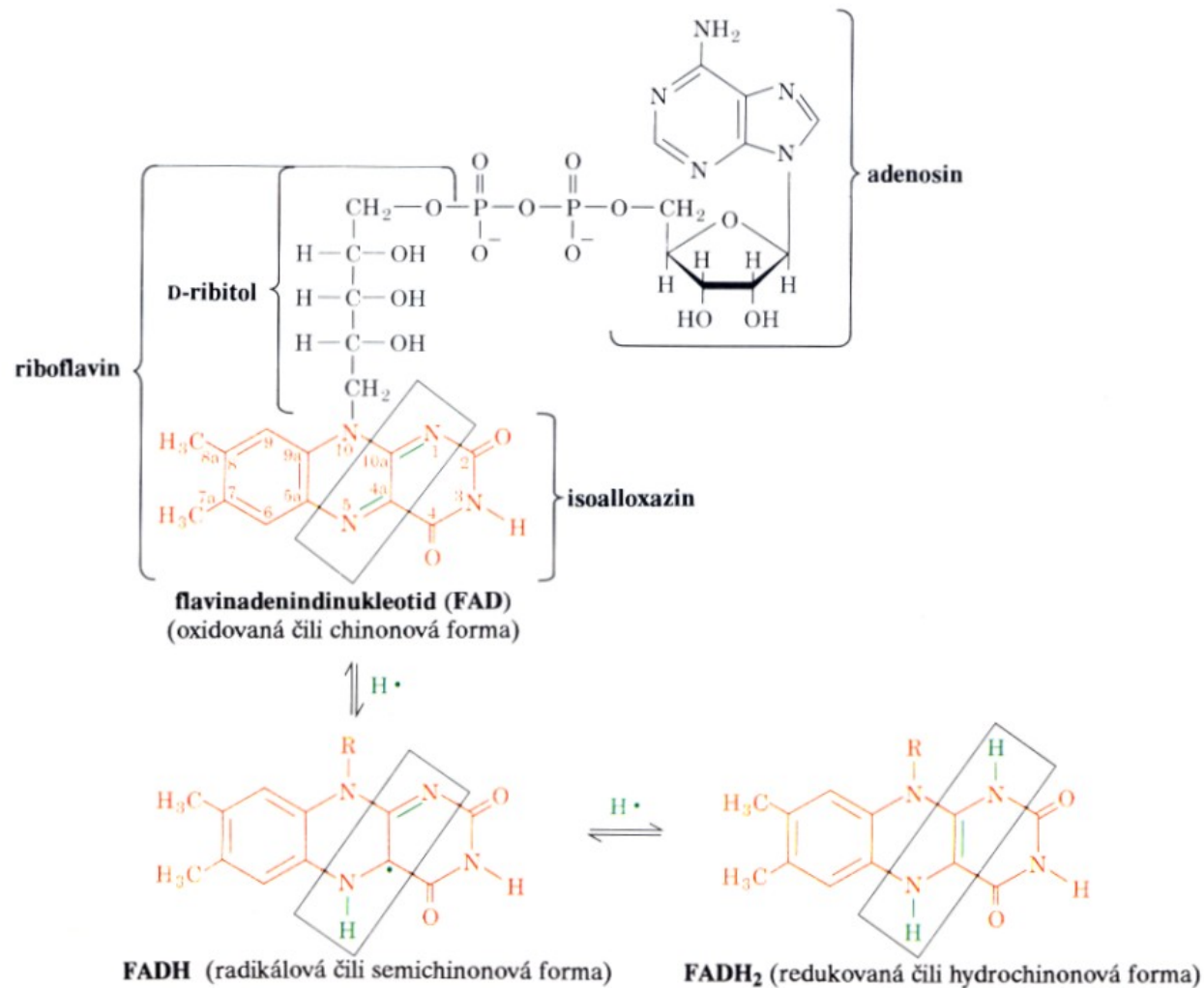
Obr. 15-3

Složité metabolity, jako jsou sacharidy, lipidy a proteiny, jsou nejprve degradovány na své monomerní jednotky, hlavně glukosu, mastné kyseliny a aminokyseliny, a dále na společný meziprodukt – acetyl-CoA. Acetylová skupina je poté oxidována kyslíkem na oxid uhličitý přes citrátový cyklus za současné redukce NAD^+ a FAD . Reoxidace těchto koenzymů přes řetězec přenosu elektronů a oxidační fosforylaci vede ke vzniku vody a ATP.



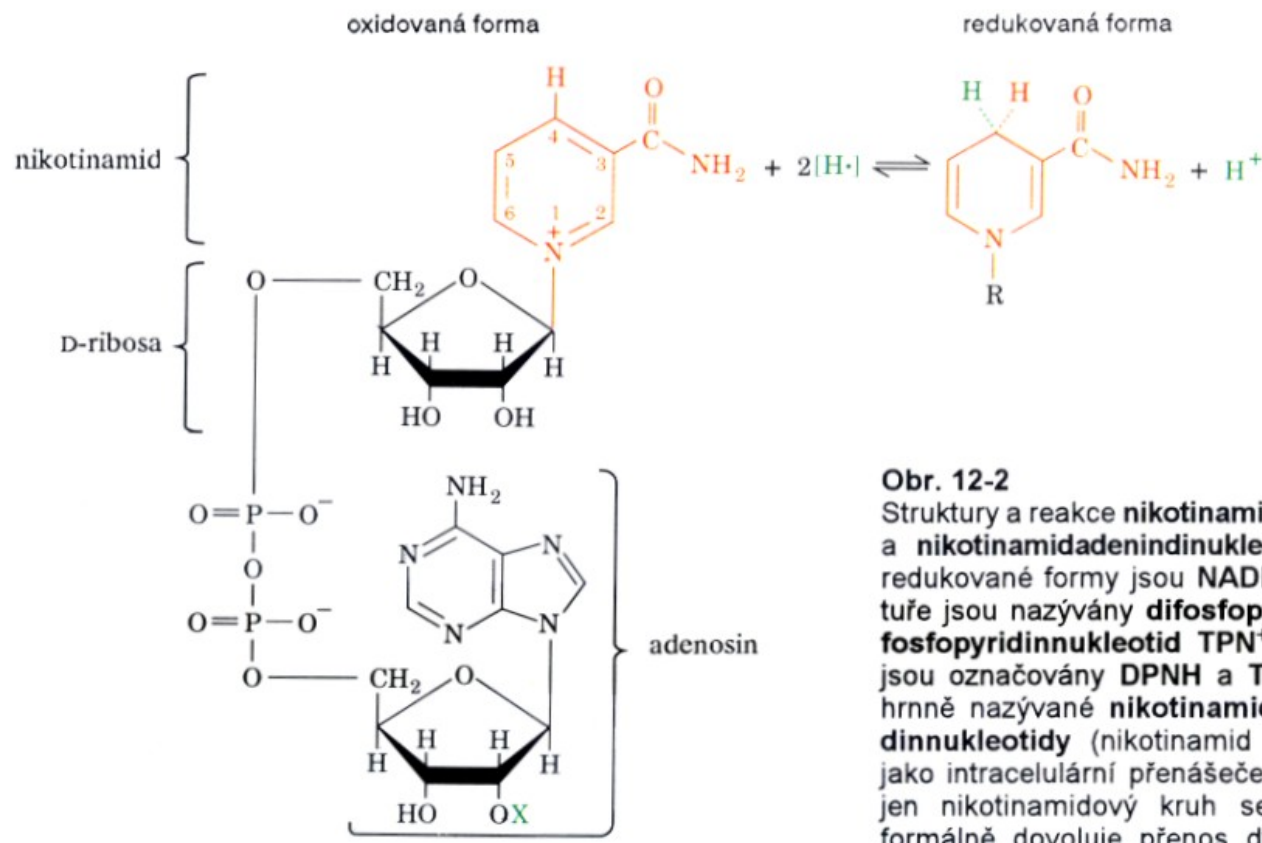
X = H nikotinamidadeninukleotid (NAD⁺)
 X = PO₃²⁻ nikotinamidadeninukleotidfosfát (NADP⁺)

Obr. 12-2
 Struktury a reakce **nikotinamidadeninukleotidu (NAD⁺)** a **nikotinamidadeninukleotidfosfátu (NADP⁺)**. Jejich redukováne formy jsou **NADH** a **NADPH**. (V starší literatuře jsou nazývány **difosfopyridinnukleotid DPN⁺** a **trifosfopyridinnukleotid TPN⁺** a jejich redukováne formy jsou označovány **DPNH** a **TPNH**.) Tyto sloučeniny souhrnně nazývané **nikotinamidové koenzymy** nebo **pyridinnukleotidy** (nikotinamid je derivát pyridinu) působí jako intracelulární přenašeče elektronů. Všimněme si, že jen nikotinamidový kruh se v reakci mění. Redukce formálně dovoluje přenos dvou vodíkových atomů (H-) ačkoli ve skutečnosti se redukce může uskutečňovat jiným mechanismem.



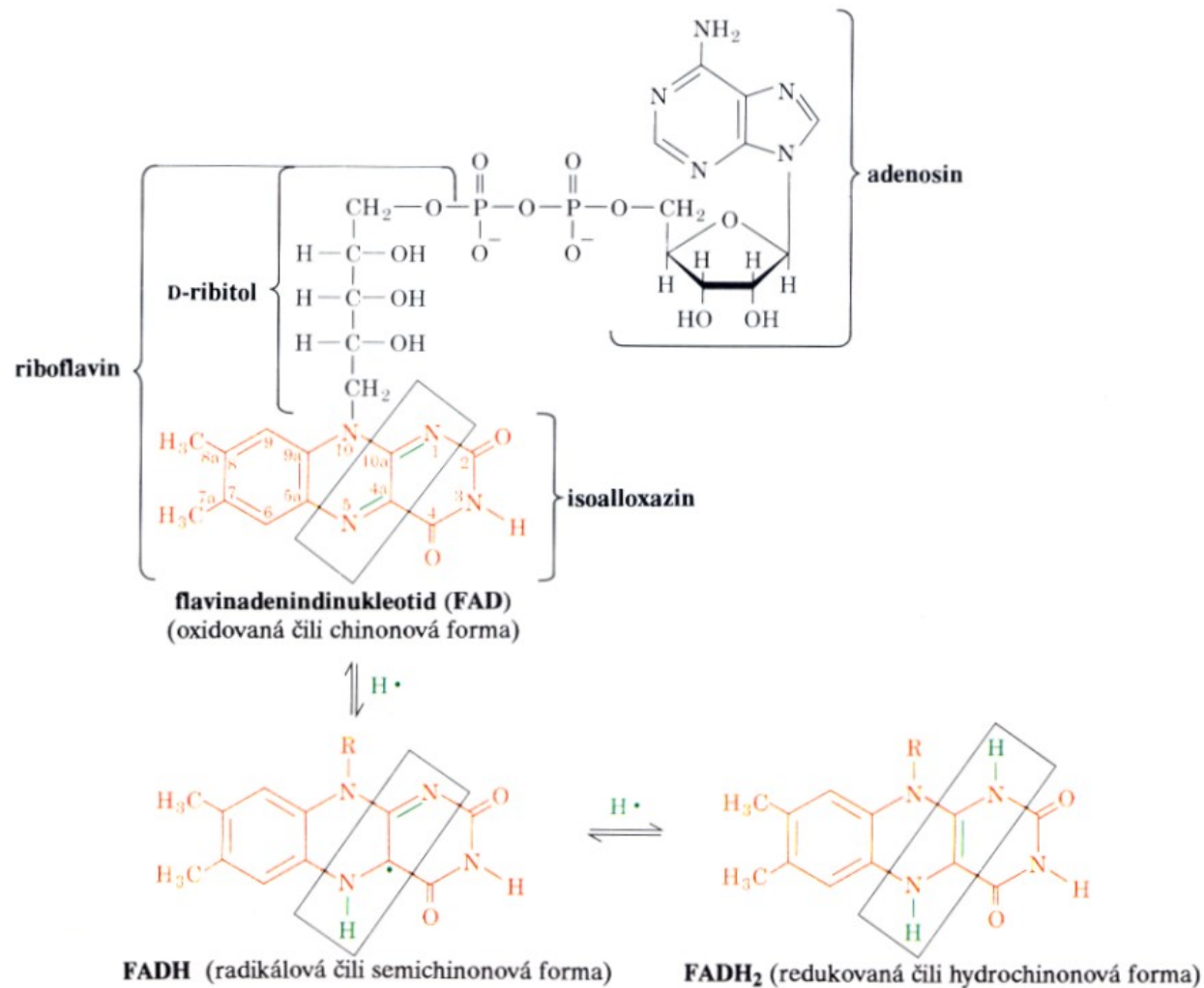
Obr. 14-27

Molekulový vzorec a reakce koenzymu flavinadenindinukleotidu (FAD). Termín "flavin" je totožný s isoalloxazinovým kruhovým systémem. Zbytek D-ribitolu je odvozen od cukru D-ribosy. FAD může být napůl redukován na stabilní radikál FADH[•] nebo plně redukován na FADH₂ (*obdělínky*). Proto každý enzym obsahující FAD se pohybuje mezi dvěma oxidačními stavy FAD. FAD je většinou pevně vázán na své enzymy tak, že tento koenzym je normálně spíše prostetickou skupinou než kosubstrátem, jak je tomu např. v případě NAD⁺.



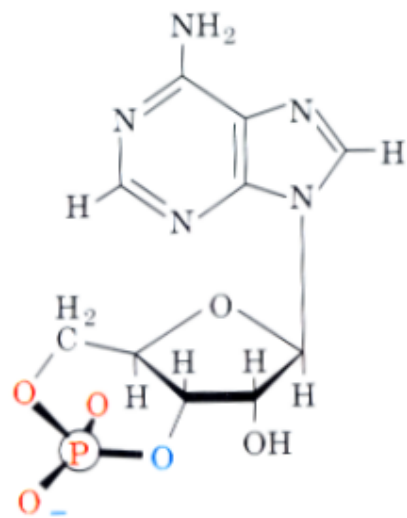
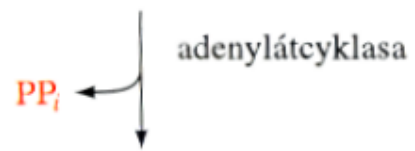
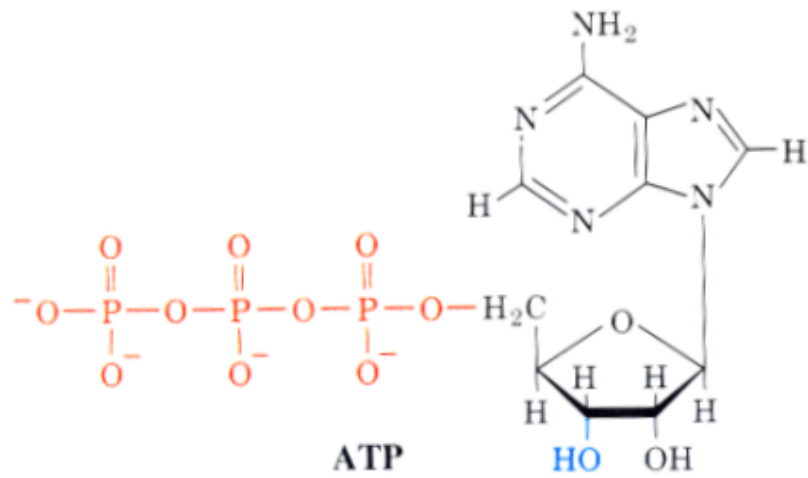
X = H **nikotinamidadeninukleotid (NAD⁺)**
 X = PO₃²⁻ **nikotinamidadeninukleotidfosfát (NADP⁺)**

Obr. 12-2
 Struktury a reakce **nikotinamidadeninukleotidu (NAD⁺)** a **nikotinamidadeninukleotidfosfátu (NADP⁺)**. Jejich redukováne formy jsou **NADH** a **NADPH**. (V starší literatuře jsou nazývány **difosfopyridinnukleotid DPN⁺** a **trifosfopyridinnukleotid TPN⁺** a jejich redukováne formy jsou označovány **DPNH** a **TPNH**.) Tyto sloučeniny souhrnně nazývané **nikotinamidové koenzymy** nebo **pyridinnukleotidy** (nikotinamid je derivát pyridinu) působí jako intracelulární přenašeče elektronů. Všimněme si, že jen nikotinamidový kruh se v reakci mění. Redukce formálně dovoluje přenos dvou vodíkových atomů (H-) ačkoli ve skutečnosti se redukce může uskutečňovat jiným mechanismem.



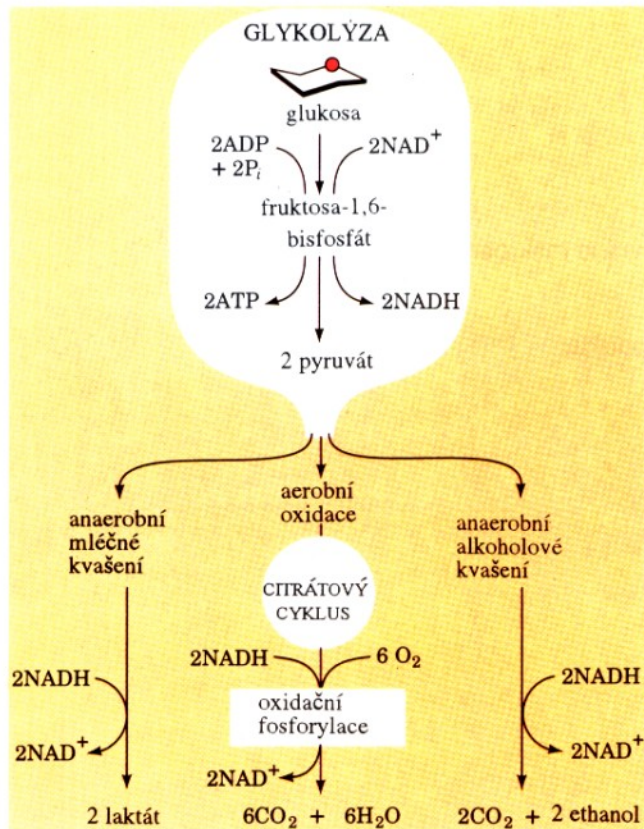
Obr. 14-27

Molekulový vzorec a reakce koenzymu flavinadenindinukleotidu (FAD). Termín "flavin" je totožný s isoalloxazinovým kruhovým systémem. Zbytek D-ribitolu je odvozen od cukru D-ribosy. FAD může být napůl redukován na stabilní radikál FADH[•] nebo plně redukován na FADH₂ (*obdělínky*). Proto každý enzym obsahující FAD se pohybuje mezi dvěma oxidačními stavy FAD. FAD je většinou pevně vázán na své enzymy tak, že tento koenzym je normálně spíše prostetickou skupinou než kosubstrátem, jak je tomu např. v případě NAD⁺.



3',5'-cyklický AMP

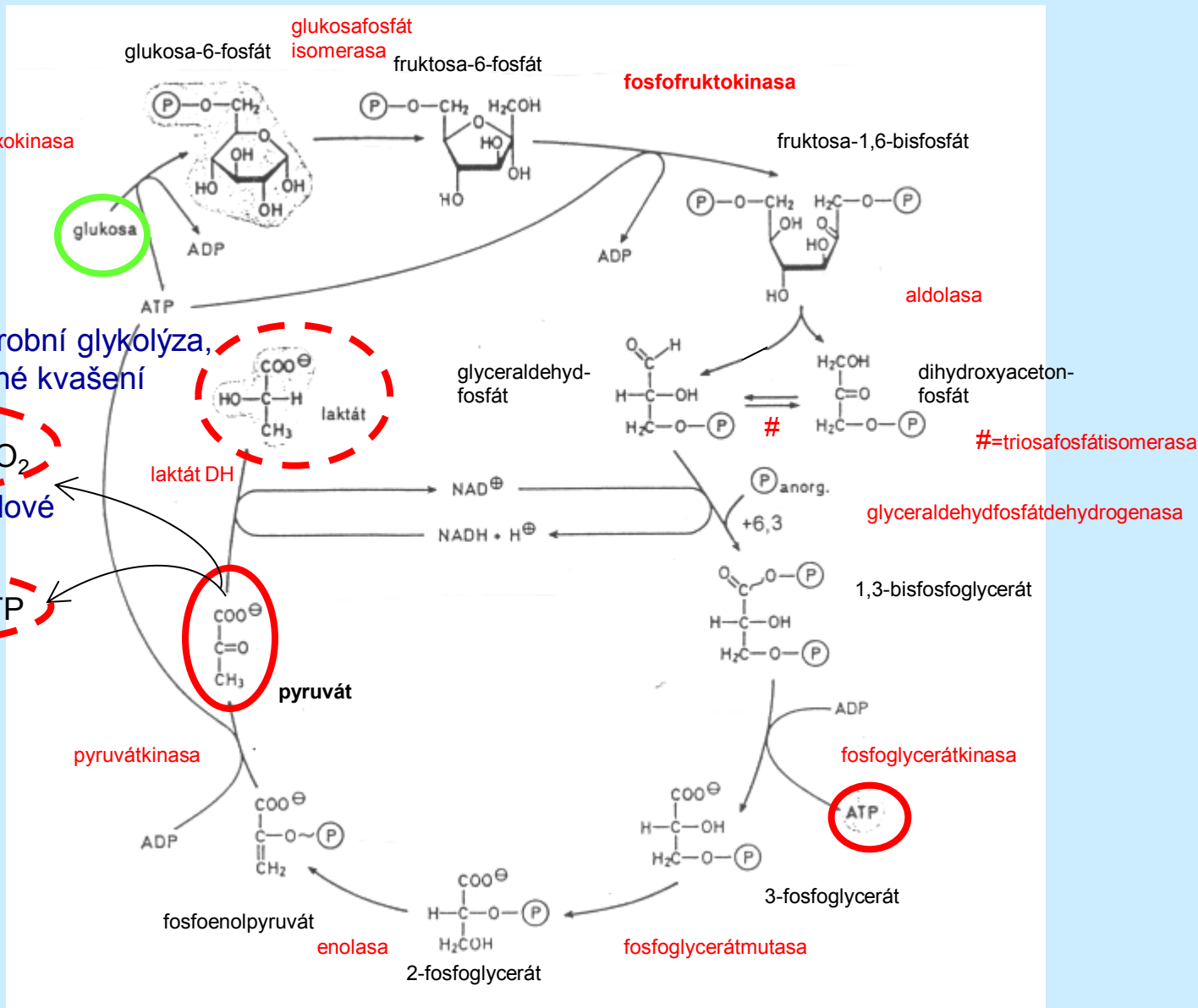
GLYKOLÝZA – VARIANTY A BILANCE



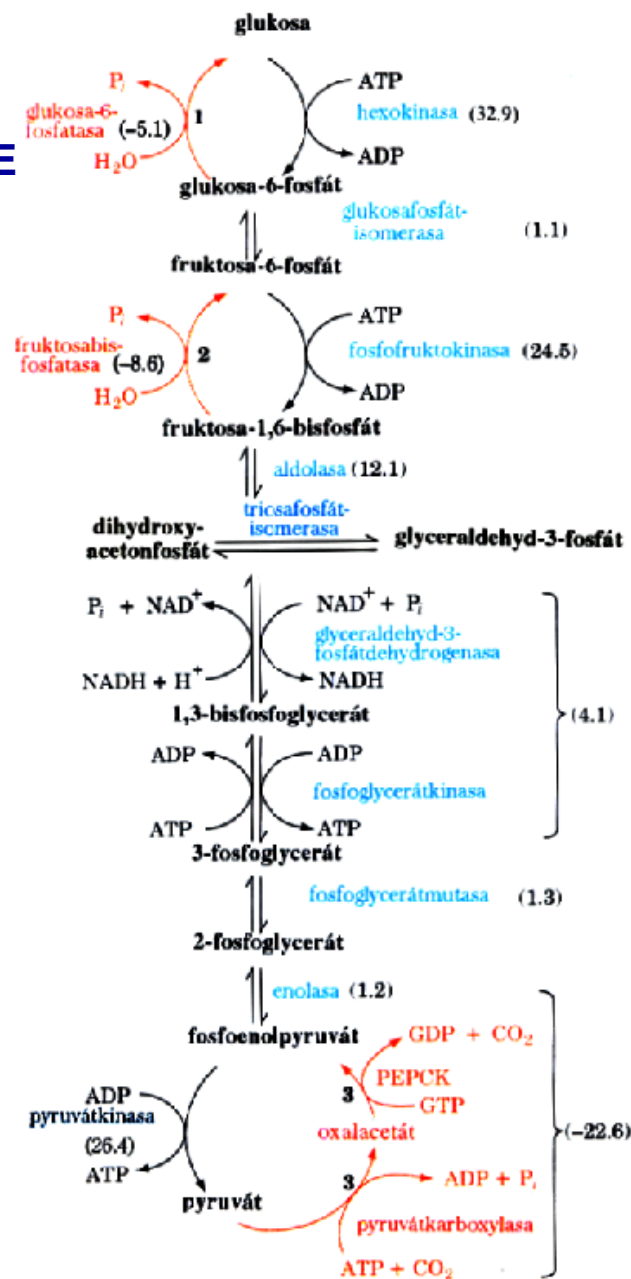
Obr. 16-1

Glykolýza přeměňuje glukosu na pyruvát při současně tvorbě dvou molekul ATP. Za anaerobních podmínek probíhá další degradace pyruvátu jako alkoholové kvašení u kvasinek nebo redukce na mléčnou kyselinu ve svalu. Za aerobních podmínek je pyruvát oxidován na vodu a oxid uhlíčitý přes citrátový cyklus a oxidační fosforylaci.

GLYKOLÝZA – PRŮBĚH



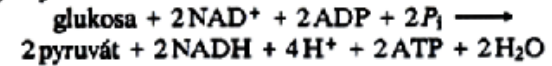
GLYKOLÝZA VS. GLUKONEOGENEZE



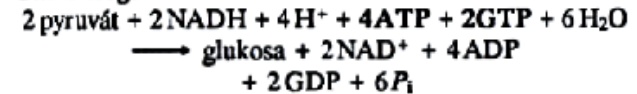
Obr. 21-7

Dráhy glukoneogeneze a glykolýzy. Tři očíslované kroky, které jsou v glukoneogenezi katalyzovány odlišnými enzymy, jsou označeny červenými šipkami. Změny Gibbsovy volné energie reakcí ve směru glukoneogeneze za fyziologických podmínek v játrech jsou uvedeny v závorkách v kJ/mol.

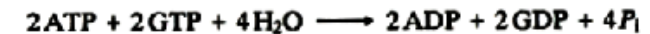
Glykolýza:



Glukoneogeneze:

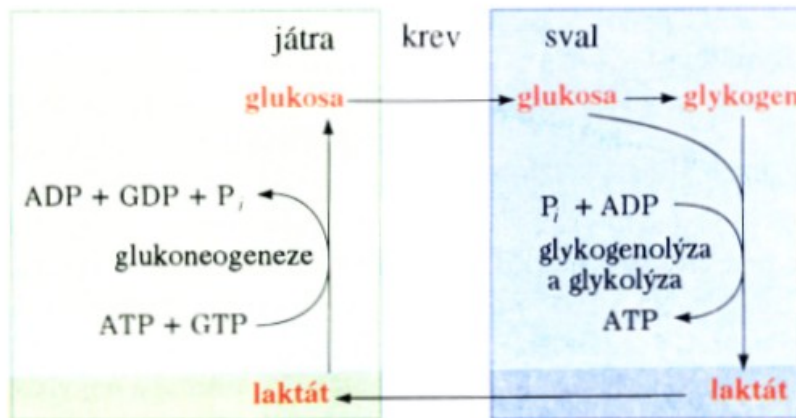


Cellkově:



Takové ztráty volné energie v cyklickém procesu jsou termodynamicky nevyhnutelné. Jsou energetickou cenou, která musí být zaplácena za udržení nezávislé regulace obou drah.

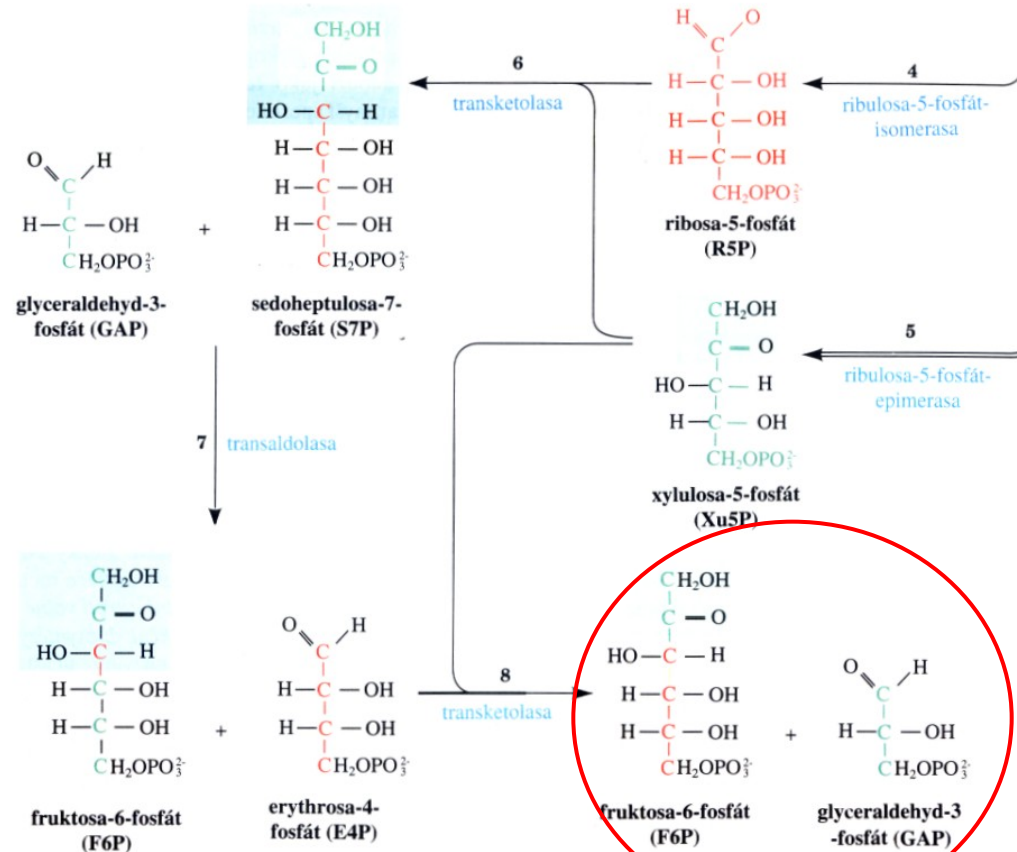
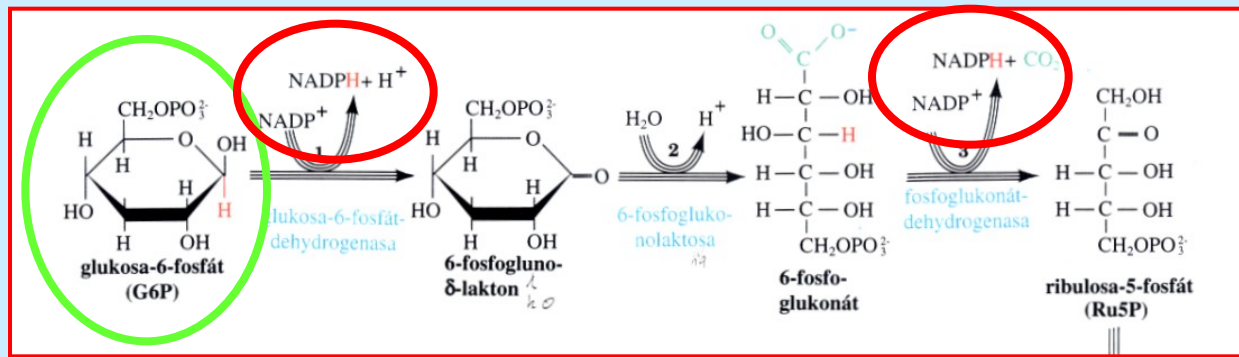
CORIHO CYKLUS



Obr. 21-9

Coriho cyklus. Laktát vznikající glykolýzou ve svalu je transportován krevním řečištěm do jater, kde je přeměněn v glukoneogenezi na glukosu. Ta se vrací krevním řečištěm zpět do svalu, kde může být uskladněna v podobě glykogenu.

PENTOSOVÝ CYKLUS



Obr. 21-22

Pentosový cyklus. Číslo u šipek znamená počet molekul vstupujících do cyklu během jedné obrátky, při přeměně třech molekul Glic-6-P na tři molekuly CO_2 , dvě molekuly Fru-6-P a jednu molekulu Gra-3-P. Počínaje reakci 3 jsou cukry pro větší názornost uvedeny lineárními (Fischerovými) vzorci. Uhlíková kostra Rbs-5-P a atomů od něho odvozených jsou znázorněny červeně. Jednotky C_2 přenášené transketolasou jsou vyznačeny zeleně, jednotky C_3 přenášené transaldolou modře.

KREBSŮV CYKLUS

$\text{CH}_3\text{-CO-COO}^-$ pyruvát

pyruvát DH

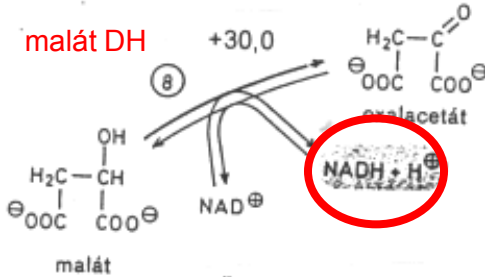
CoA + NAD^+

oxidační dekarboxylace

$\text{CO}_2 + \text{NADH}$

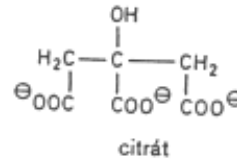
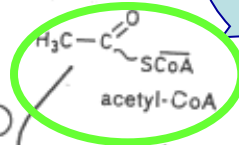
malát DH

+30,0



citrát-synthasa

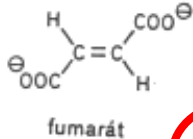
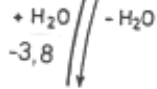
-31,5



Čísła uvedená u reakcí jsou hodnoty ΔG_0 (kJ/mol)

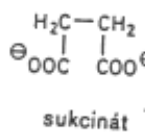
fumarát DH

7



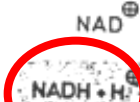
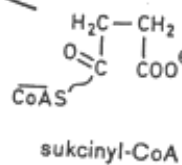
sukcinát DH

6



sukcinyl CoA synthetasa

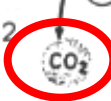
-3,3



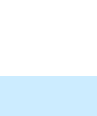
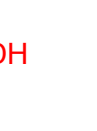
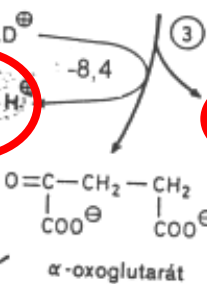
isocitrát DH

-8,4

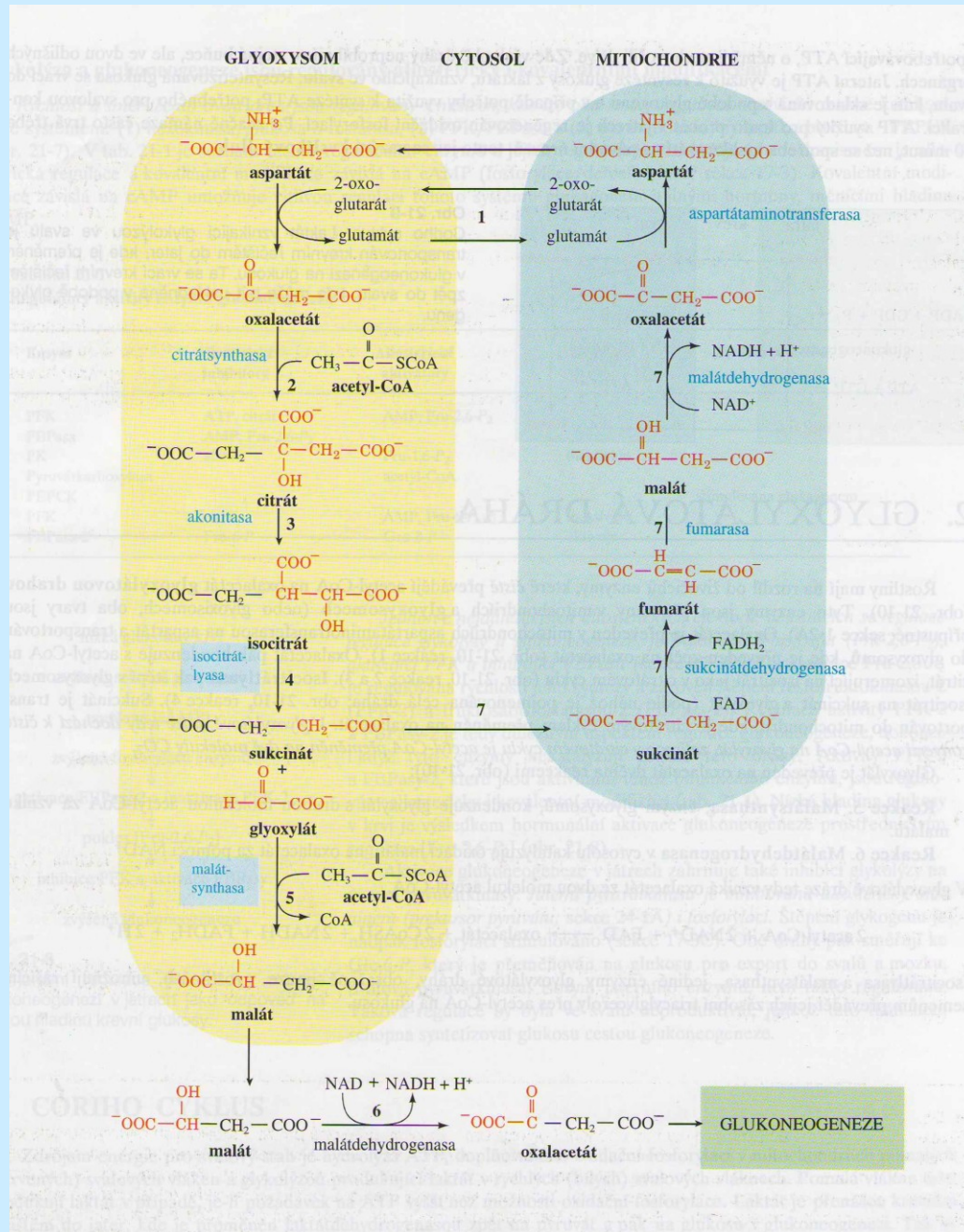
α -oxoglutarát DH



-30,2



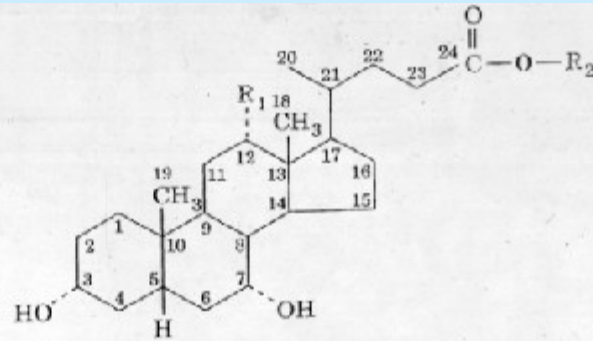
GLYOXYLÁTOVÁ DRÁHA



ŽLUČOVÉ KYSELINY A CHOLESTEROL

Obr. 23-52

Struktura hlavních žlučových kyselin a jejich konjugátů s glycinem a s taurinem.



$R_2 = H$

$R_2 = NH - CH_2 - COOH$

$R_2 = NH - CH_2 - CH_2 - SO_3H$

$R_1 = OH$

cholová kyselina

glykocholová kyselina

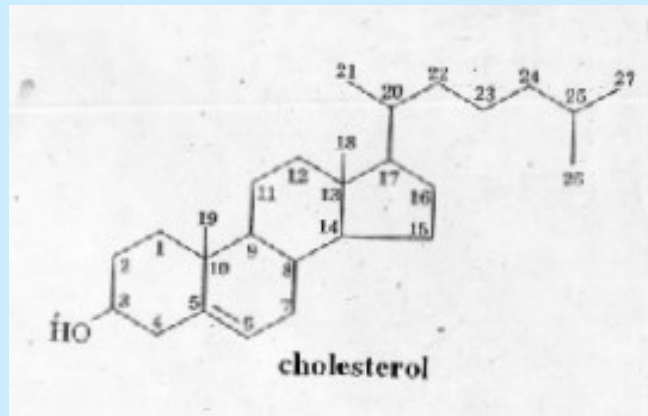
taurocholová kyselina

$R_1 = H$

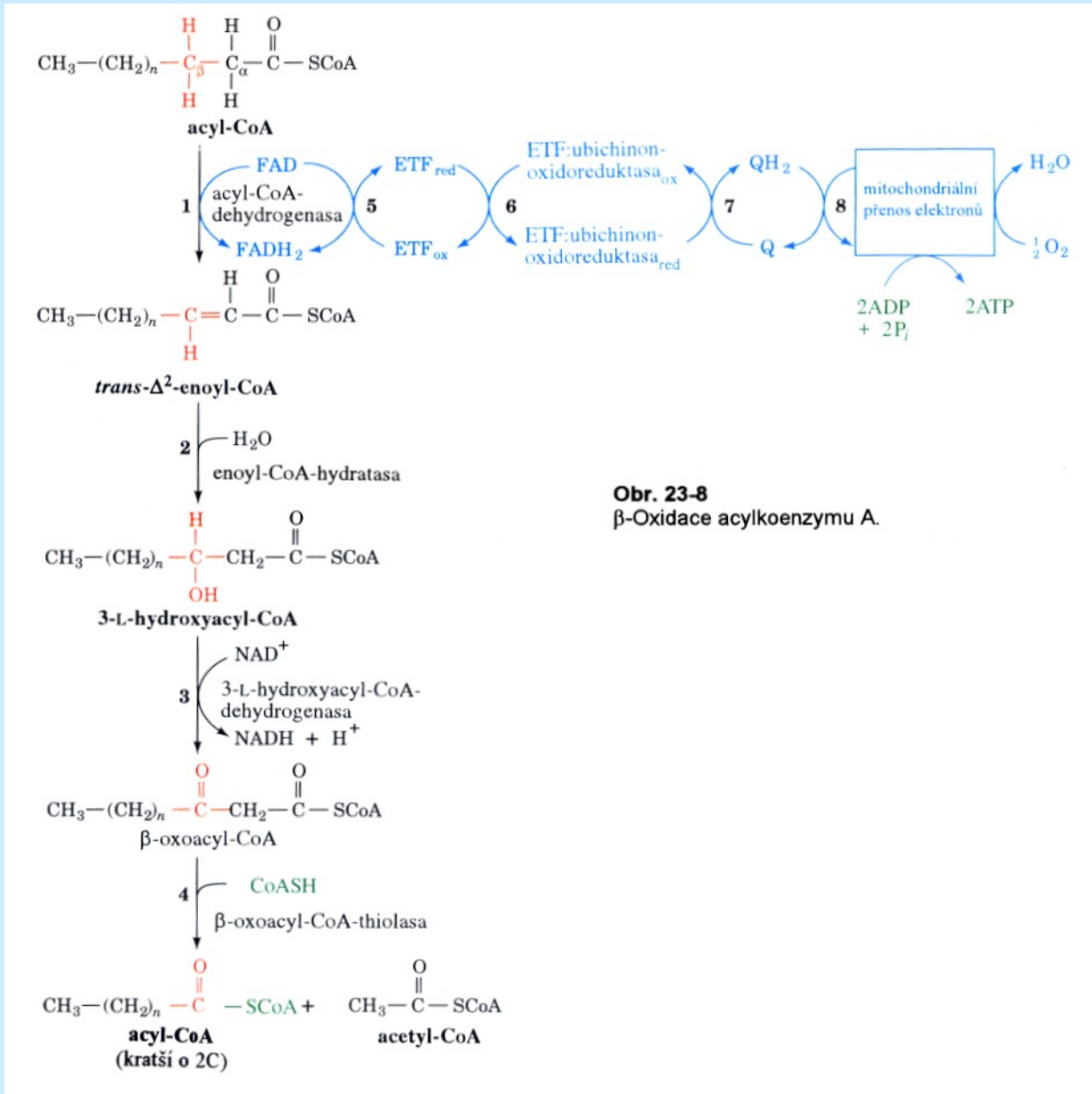
chenodeoxycholová kyselina

glykochenodeoxycholová kyselina

taurochenodeoxycholová kyselina

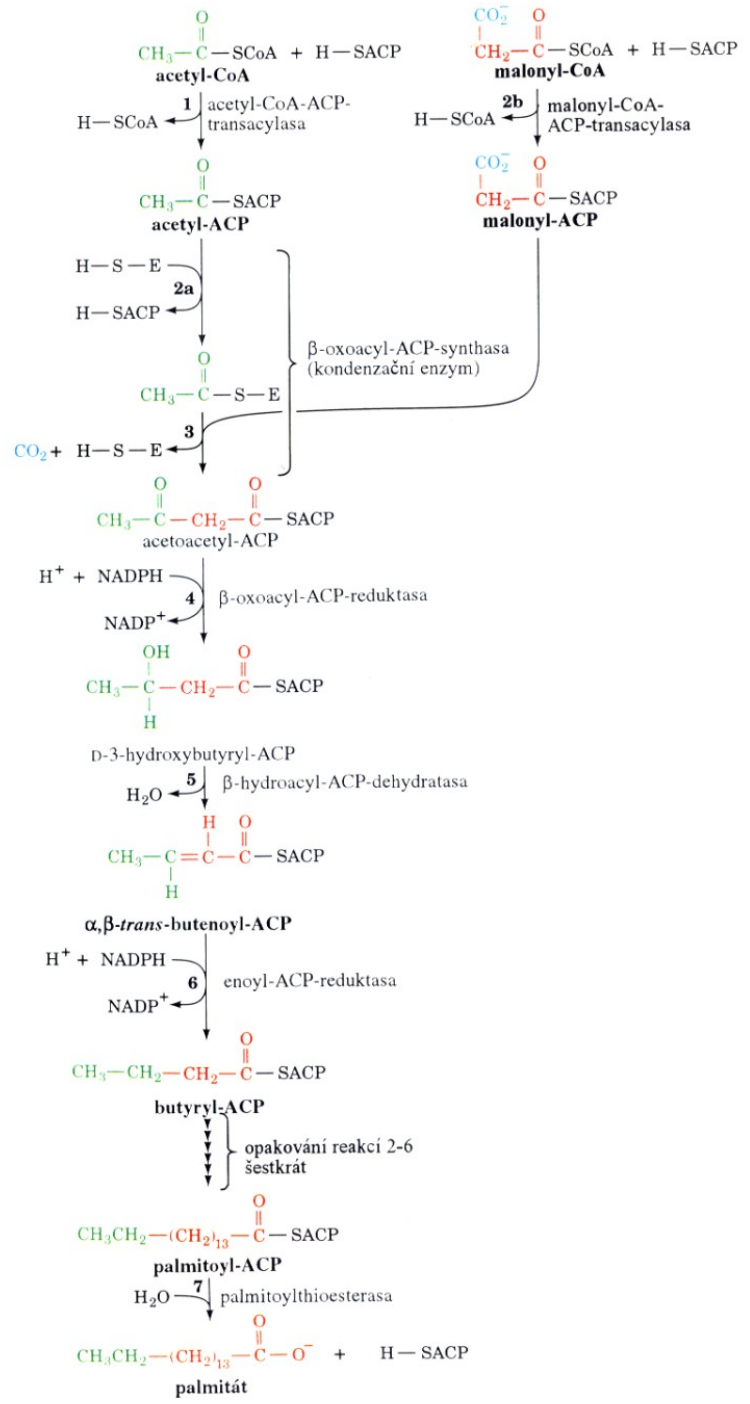


β-OXIDACE MASTNÝCH KYSELIN



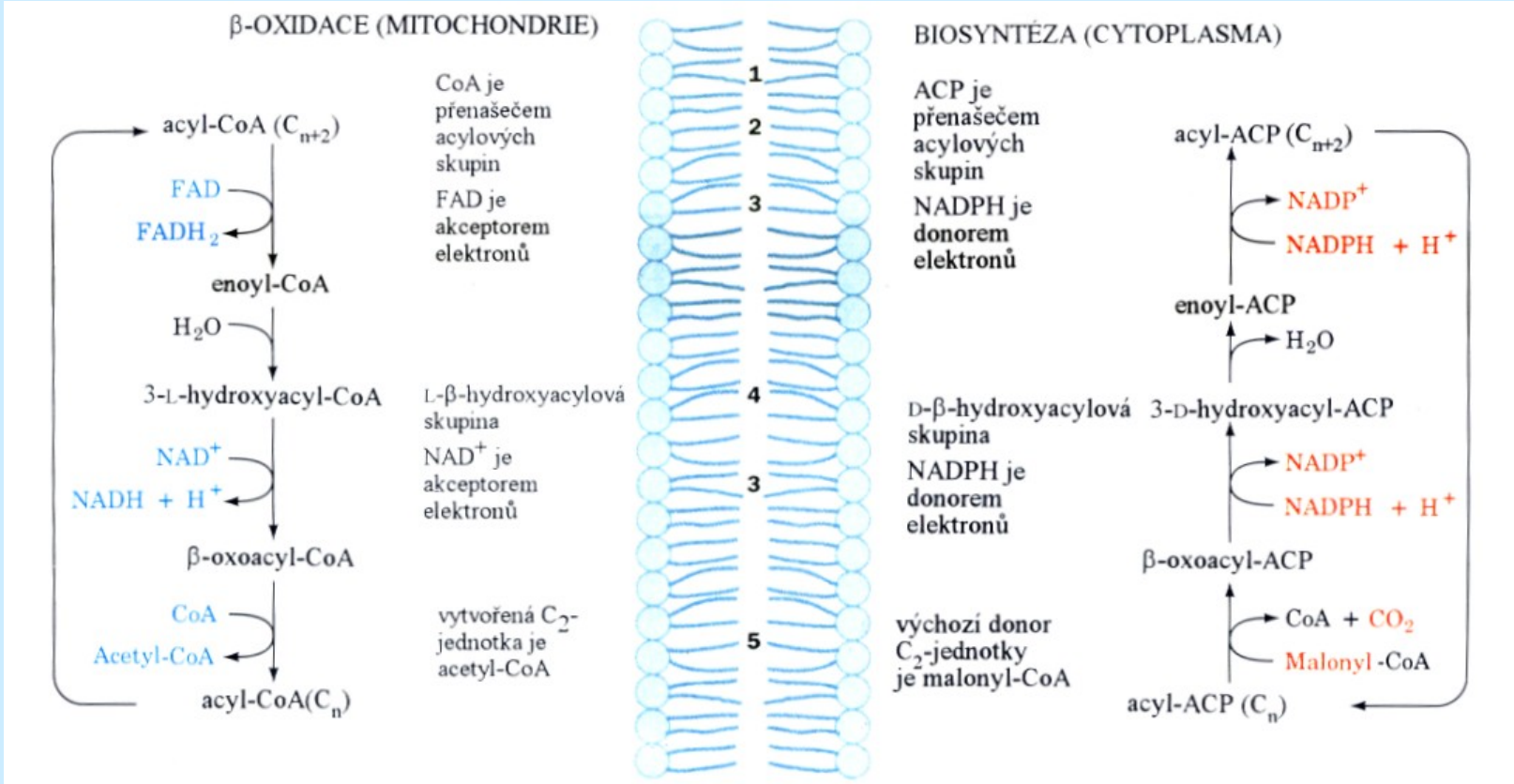
Obr. 23-8
β-Oxidace acylkoenzymu A.

BIOSYNTÉZA MASTNÝCH KYSELIN



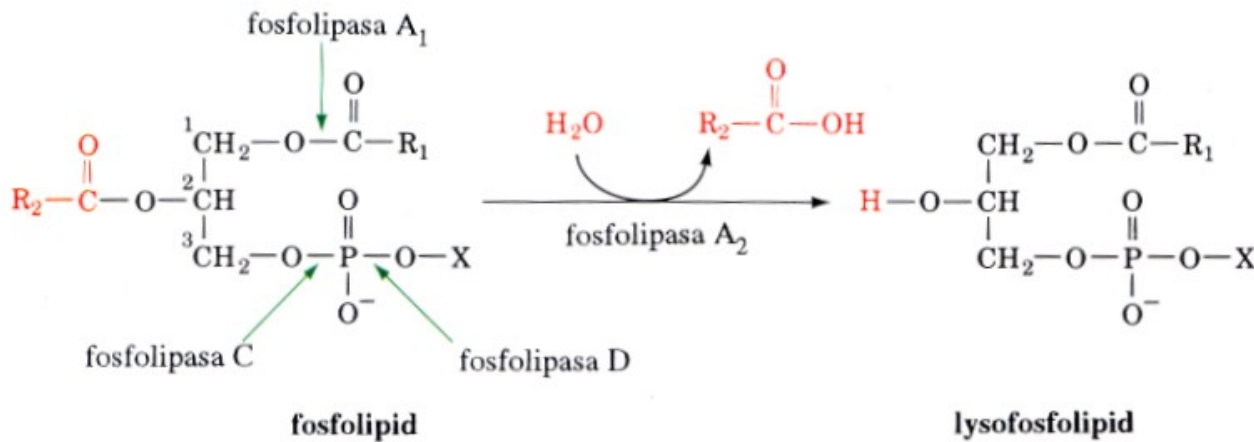
Obr. 23-26
Pořadí reakcí při biosyntéze mastných kyselin. Při tvorbě palmitátu se opakuje sedm cyklů prodloužení řetězce o C₂, načež následuje finální hydrolytický krok.

ROZDÍLY MEZI β -OXIDACÍ A BIOSYNTÉZOU MASTNÝCH KYSELIN



Obr. 23-23
 Znázornění rozdílů mezi drahami β -oxidace a biosyntézy mastných kyselin se zvláštním zřetelem na: **(1)** umístění v buňce, **(2)** přenašeč acylové skupiny, **(3)** akceptor/donor elektronů, **(4)** stereochemii hydratační a dehydratační reakce a **(5)** formu, v jaké jsou tvořeny nebo poskytovány jednotky C_2 .

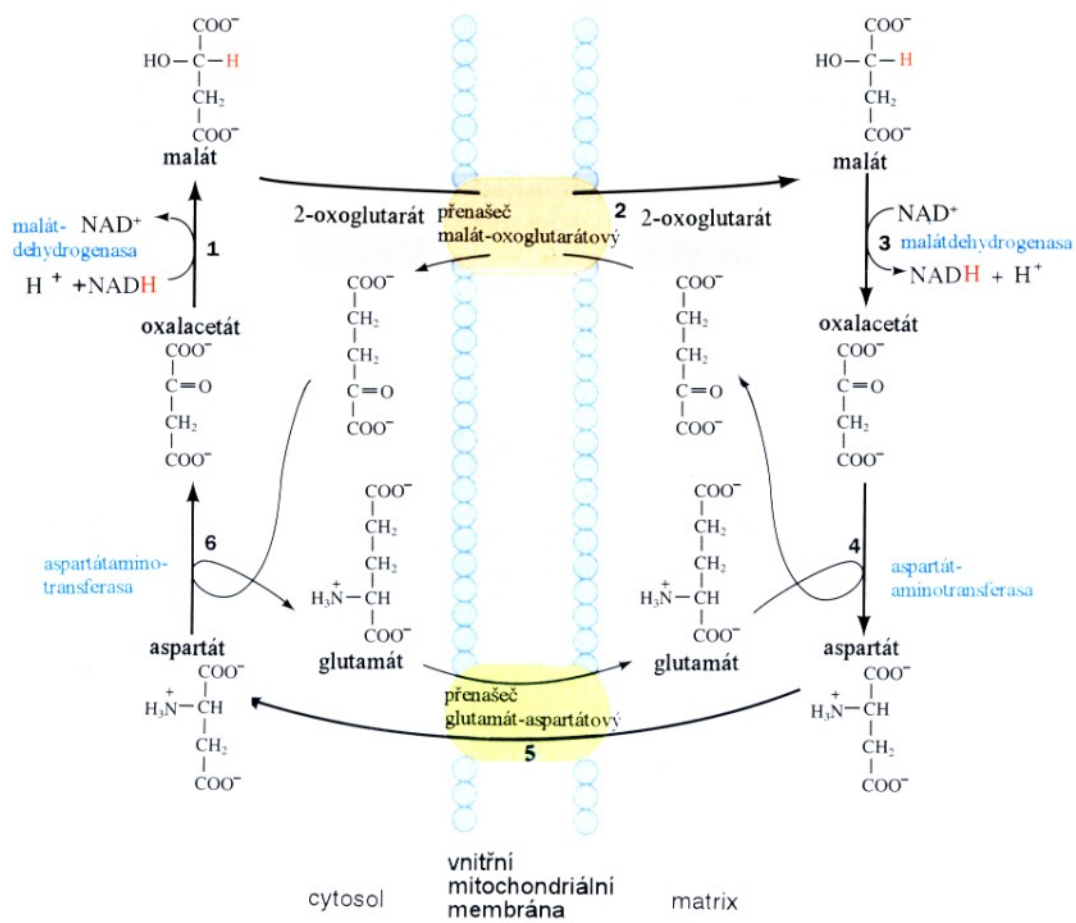
ŠTĚPĚNÍ FOSFOLIPIDŮ: FOSFOLIPASY



Obr. 23-1

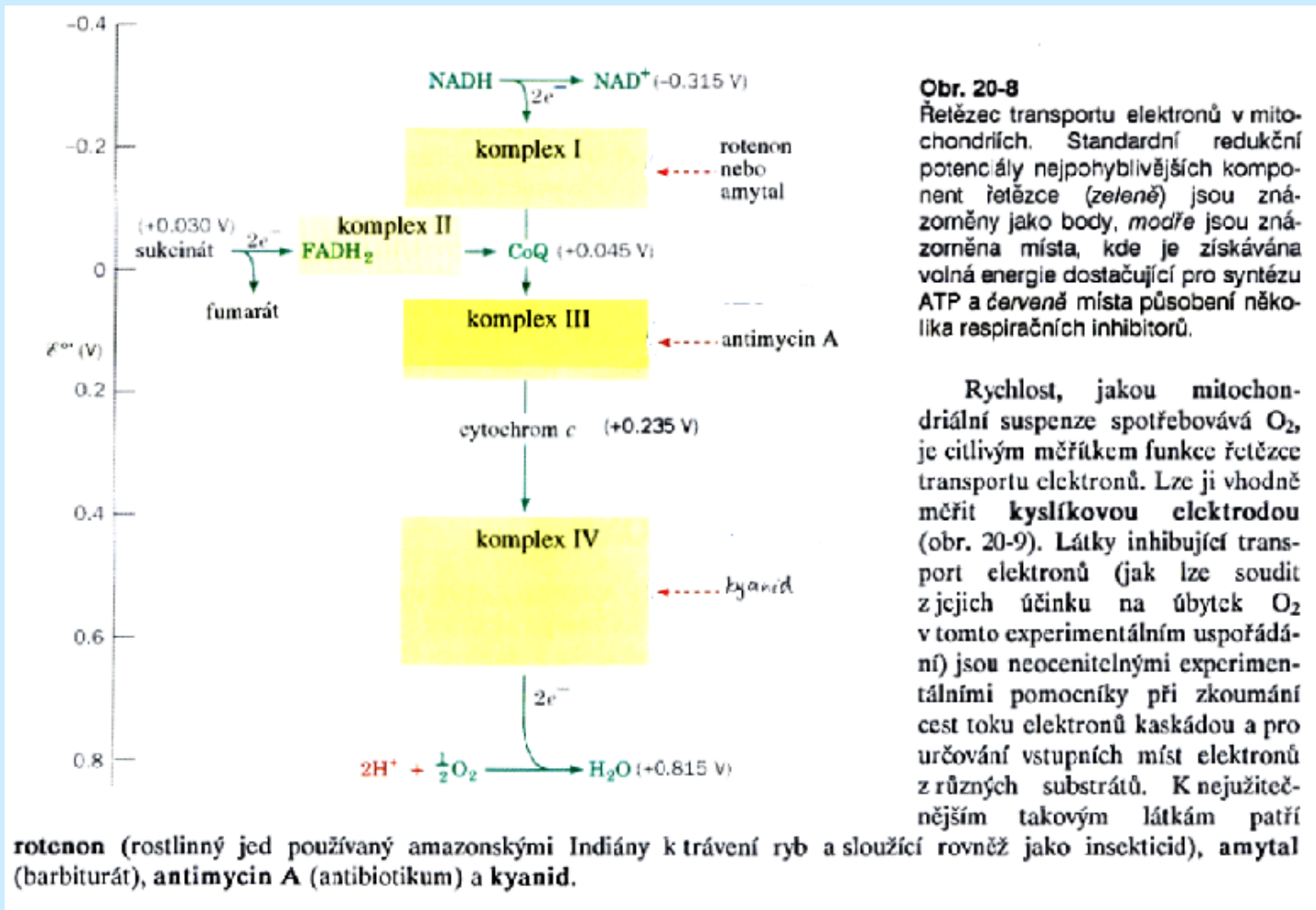
Fosfolipasa A₂ hydrolyticky odštěpuje C₍₂₎-zbytek mastné kyseliny z triacylglycerolu za vzniku odpovídajícího lysofosfolipidu. Jsou vyznačeny také vazby hydrolyzované jinými typy fosfolipas, které jsou nazývány podle jejich účinků.

TRANSPORT ELEKTRONŮ DO MITOCHONDIÁLNÍ MATRIX



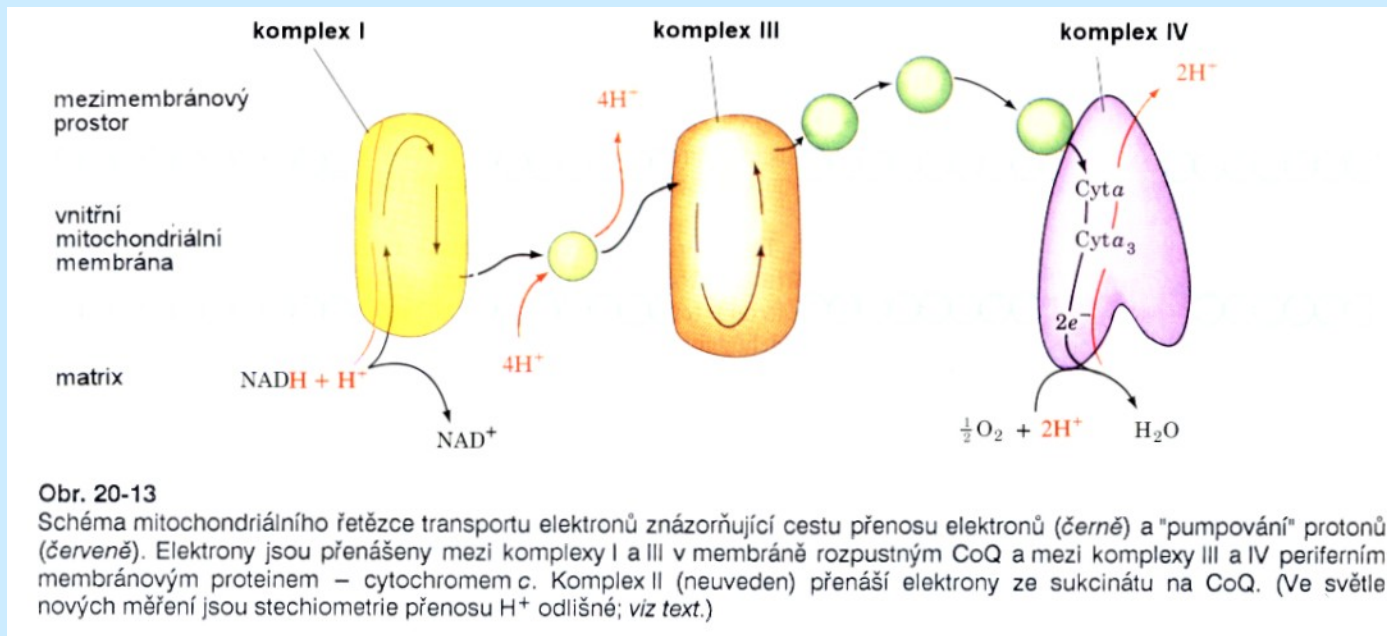
Obr. 20-7 Malát–aspartátové kyvadlo. Transport elektronů z cytosolového NADH na mitochondriální NADH (znázorněno červeně jako přenos hydridu) v krocích 1 až 3. Během kroků 4 až 6 pak dochází k regeneraci cytosolového oxalacetátu.

RESPIRAČNÍ ŘETĚZEC

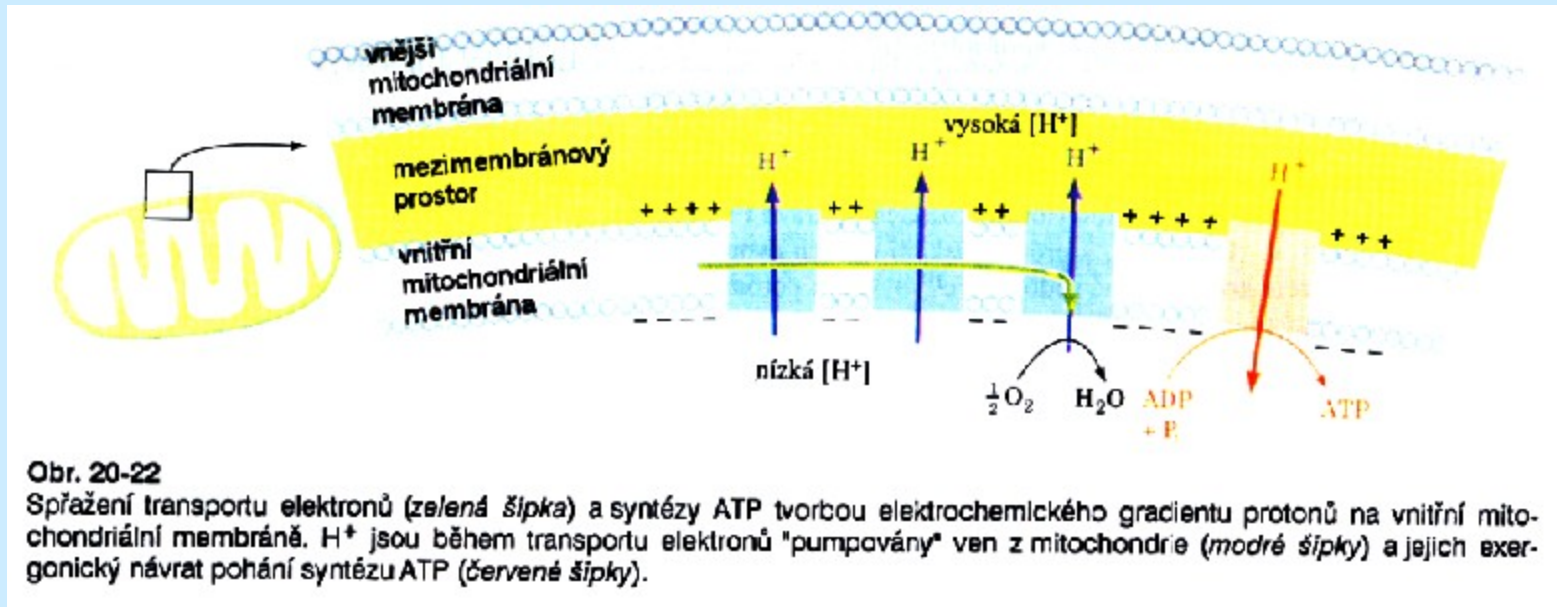


Tvorba ATP probíhá za katalýzy ATPasy díky gradientu $[H^+]$, vytvořenému komplexy I, IV a CoQ

RESPIRAČNÍ ŘETĚZEC



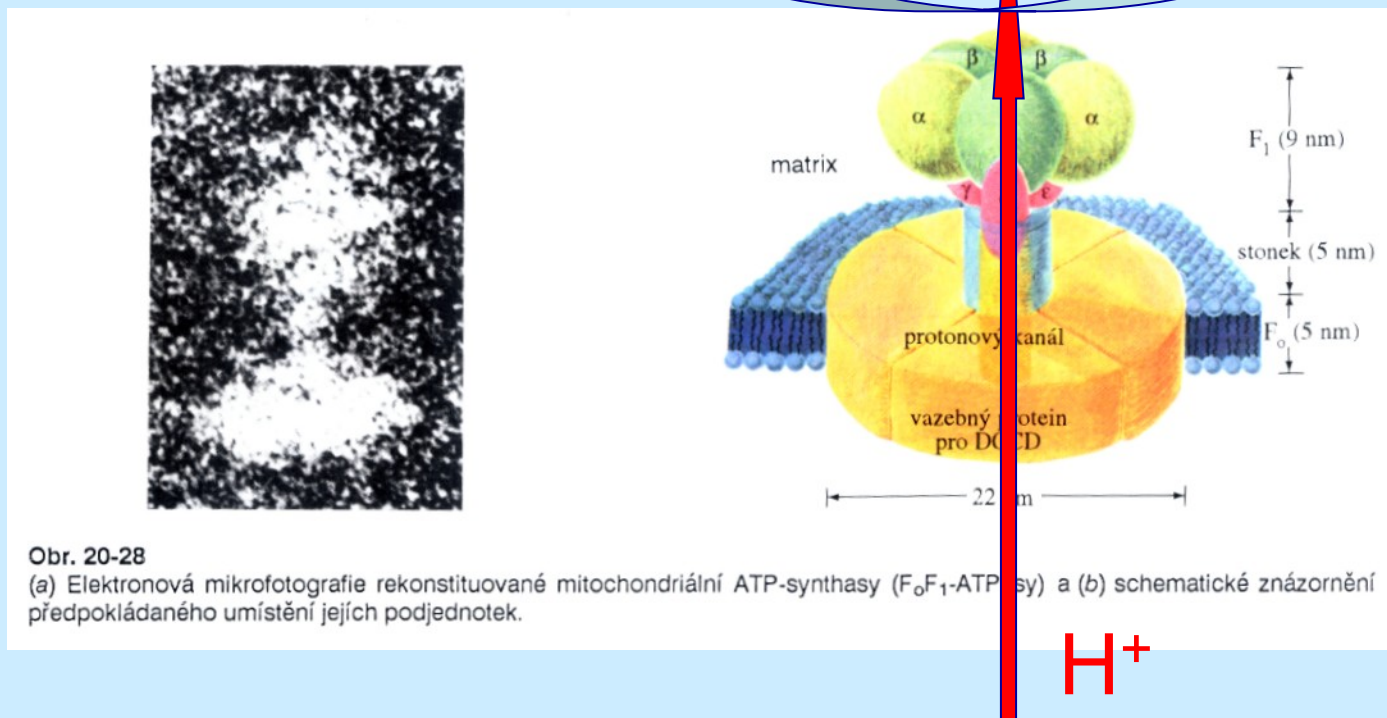
RESPIRAČNÍ ŘETĚZEC



RESPIRAČNÍ ŘETĚZEC – TVORBA ATP

ADP + P_i

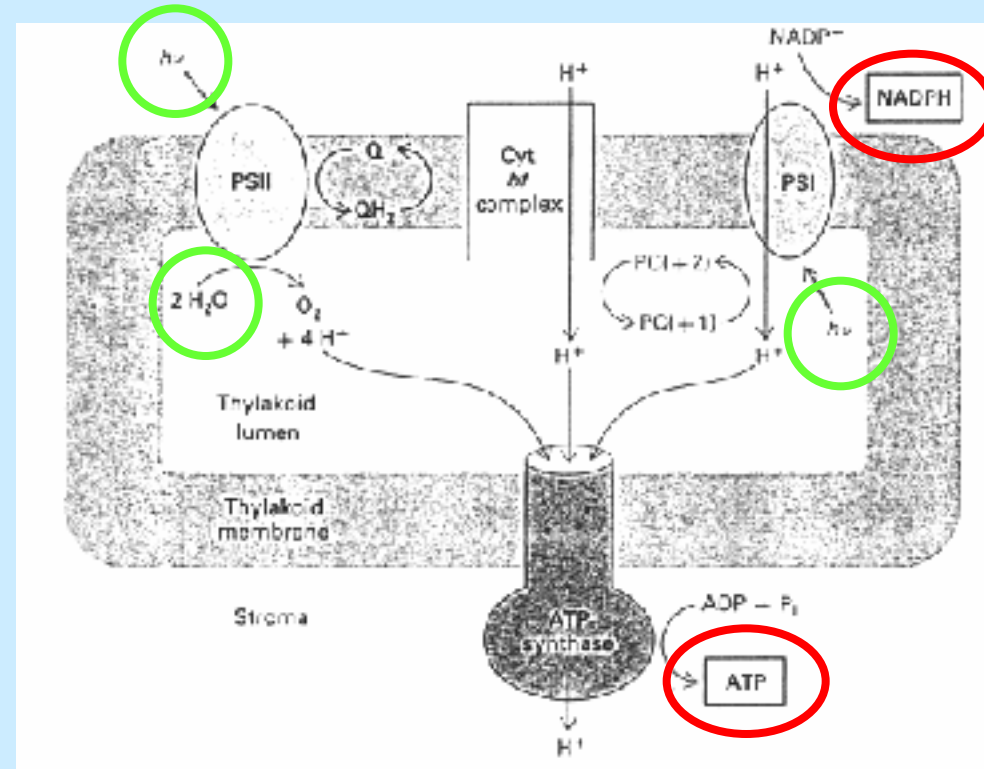
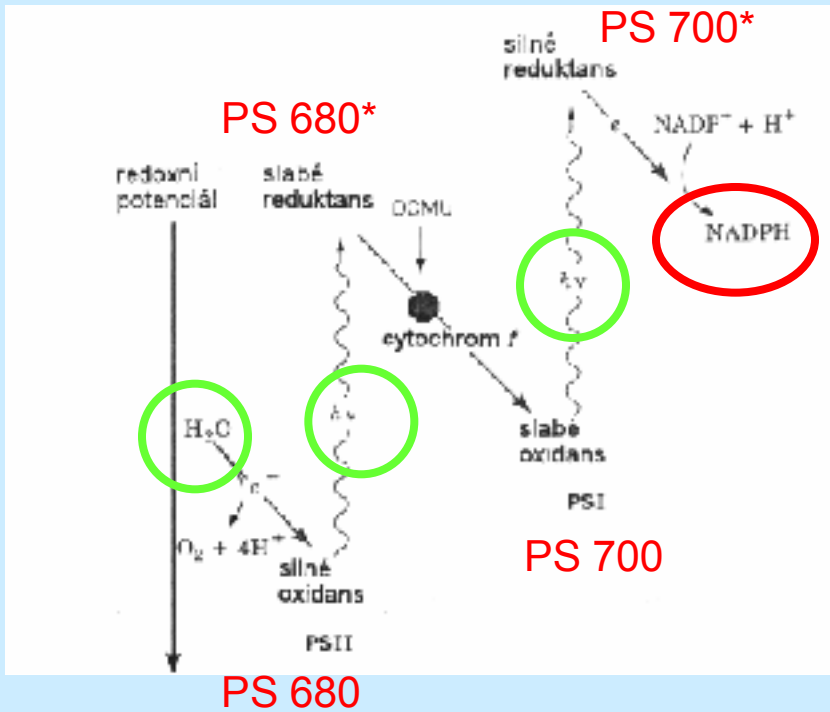
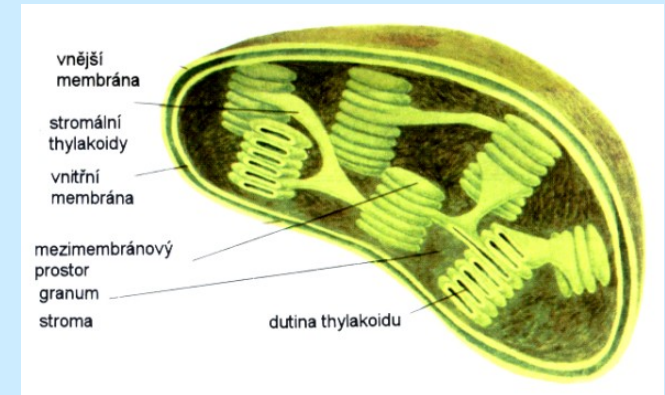
ATP



Obr. 20-28

(a) Elektronová mikrofotografie rekonstituované mitochondriální ATP-synthasy (F₀F₁-ATPasy) a (b) schematické znázornění předpokládaného umístění jejich podjednotek.

FOTOSYNTÉZA: 1. SVĚTELNÁ FÁZE



BIOCHEMIE II - SEMINÁŘ

Doc. Mgr. Pavel Bouchal, Ph.D.

Ústav biochemie PŘF MU

e-mail: bouchal@chemi.muni.cz

Tel. 54949 3251, 3252

Kamenice 5, budova A5, místnost 208, 212

Konzultace: po dohodě

PROGRAM SEMINÁŘE

1. **Nukleové kyseliny:** Nukleové báze, nukleotidy, primární struktura NK.
2. Replikace, transkripce, translace a proteosyntéza. Úvod do molekulární biologie
3. Test 1
4. Metabolismus a biosyntéza **sacharidů:** Glykolýza, glukoneogeneze, Coriho cyklus, pentosový cyklus
5. Metabolismus a biosyntéza **lipidů:** β -oxidace a biosyntéza mastných kyselin, fosfolipasy
6. **Citrátový cyklus**
7. **Respirační řetězec**
8. Test 2
9. **Fotosyntéza**
10. Bioenergetika **redoxních reakcí**
11. Metabolismus **bílkovin a aminokyselin**, močovinový cyklus a metabolismus dusíku. Biosyntéza aminokyselin.
12. Test 3

Opravné termíny zápočtu

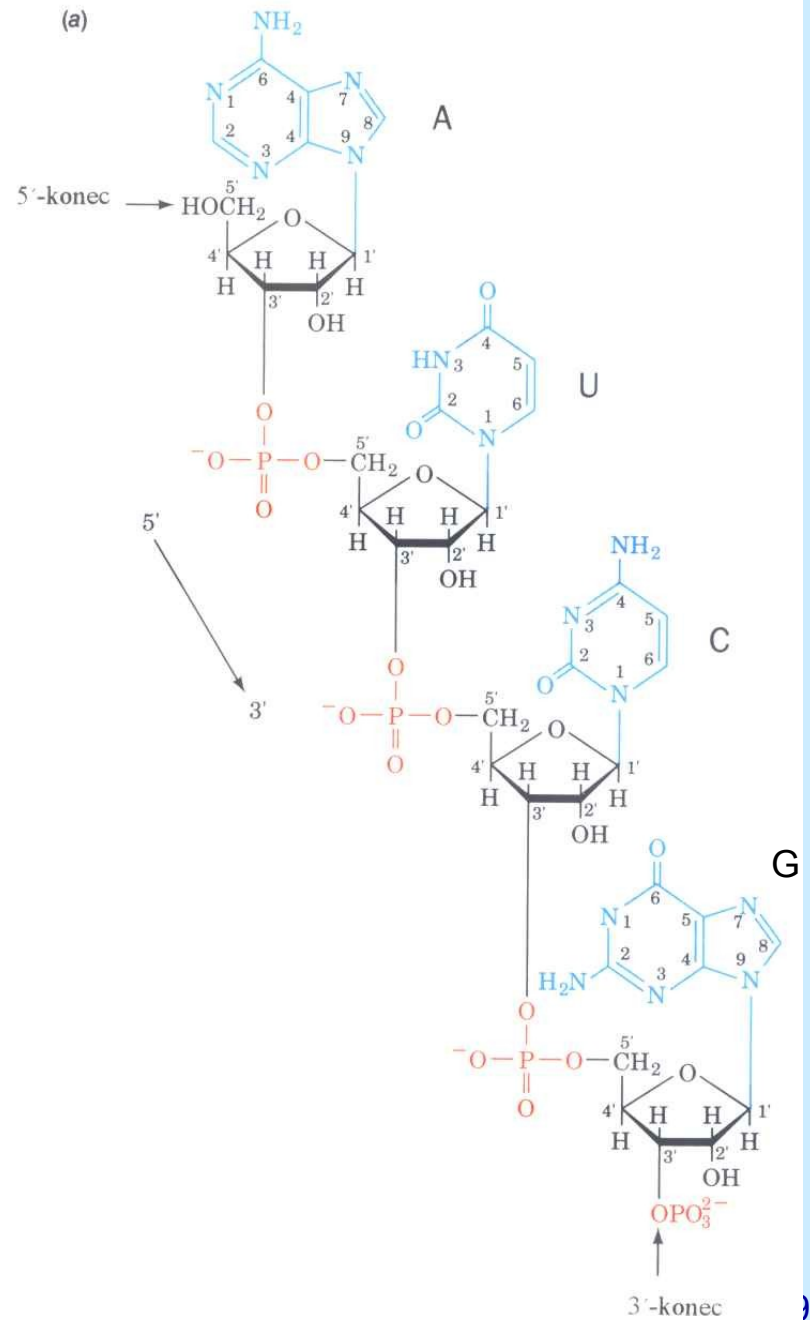
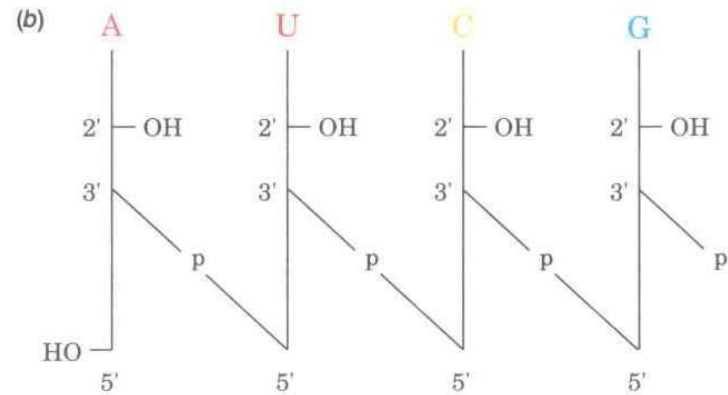
LITERATURA

Skripta Seminar 2.rtf Skripta Cvičení z biochemie, V. Mikeš
(IS: Studijní materiály/Učební materiály)
Biochemie II – seminář www.ppt

PODMÍNKY ZÍSKÁNÍ ZÁPOČTU

- Účast ve výuce: max. 1 neomluvená absence (více absencí: jen nemoc – lékařské potvrzení, řeší se individuálně)
- Testy (3), min. 50% z celkového počtu bodů => zápočet v řádném termínu
- Souhrnný test z učiva celého semestru => zápočet v 1. (2.) opravném termínu

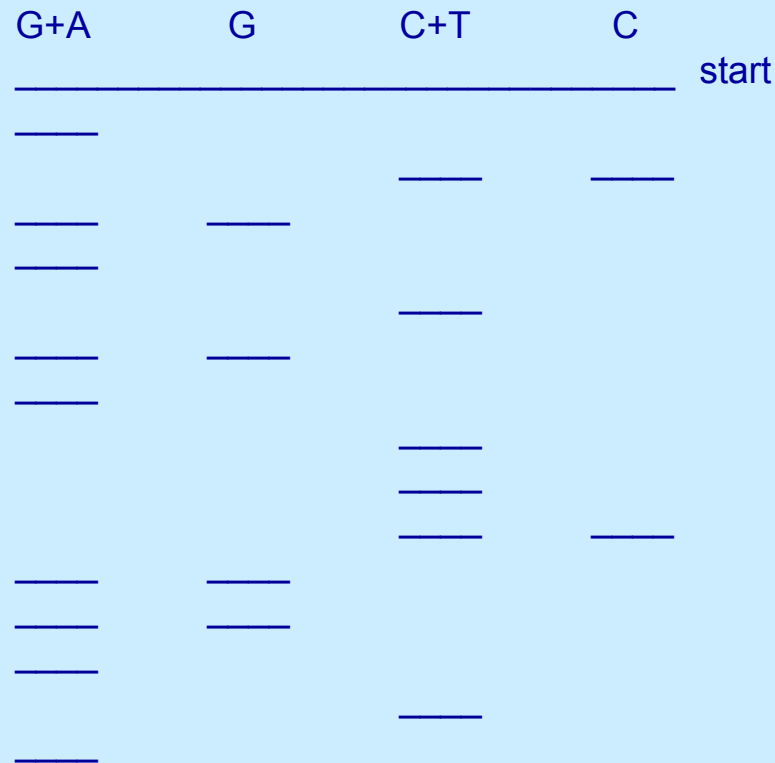
PRIMÁRNÍ STRUKTURA NUKLEOVÝCH KYSELIN

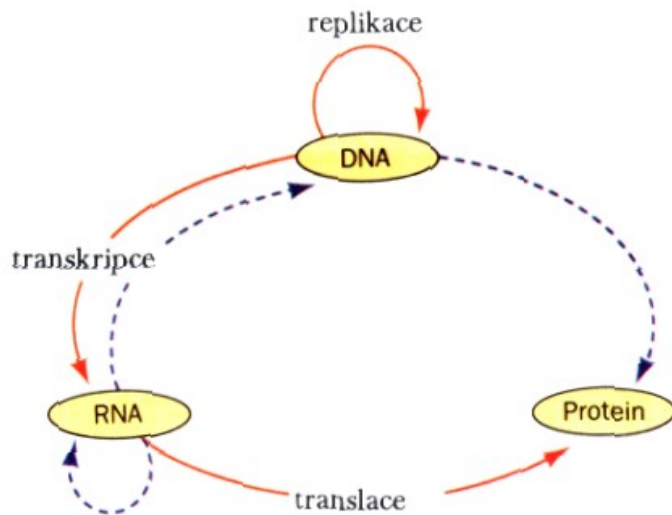


MAXAM-GILBERTOVA METODA SEKVENOVÁNÍ NUKLEOVÝCH KYSELIN

DETEKCE FRAGMENTŮ SEPAROVANÝCH ELEKTROFORÉZOU
NA FOSFOIMAGERU

(detekce radioaktivity - vizualizovány jsou pouze ^{32}P značené fragmenty)





Obr. 29-1

Ústřední dogma molekulární biologie. *Plné červené šipky* označují typy přenosu genetické informace, probíhajícího v buňce. Speciální přenosy jsou označeny *přerušovanými šipkami*: RNA-polymerasa, řízená RNA, je přítomna v jistých virech i v některých rostlinách (kde má neznámou funkci); DNA-polymerasa, řízená RNA (reverzní transkriptasa), se vyskytuje v některých RNA-virech; a DNA přímo určující protein není známa, ale zdá se, že její existence není zcela nereálná. K přenosu informace v jiných než vyznačených směrech, tzn. protein určující DNA nebo RNA, však nedochází. Jinými slovy, *proteiny jsou pouze příjemci genetické informace*.

CHEMICKÁ MUTAGENEZE

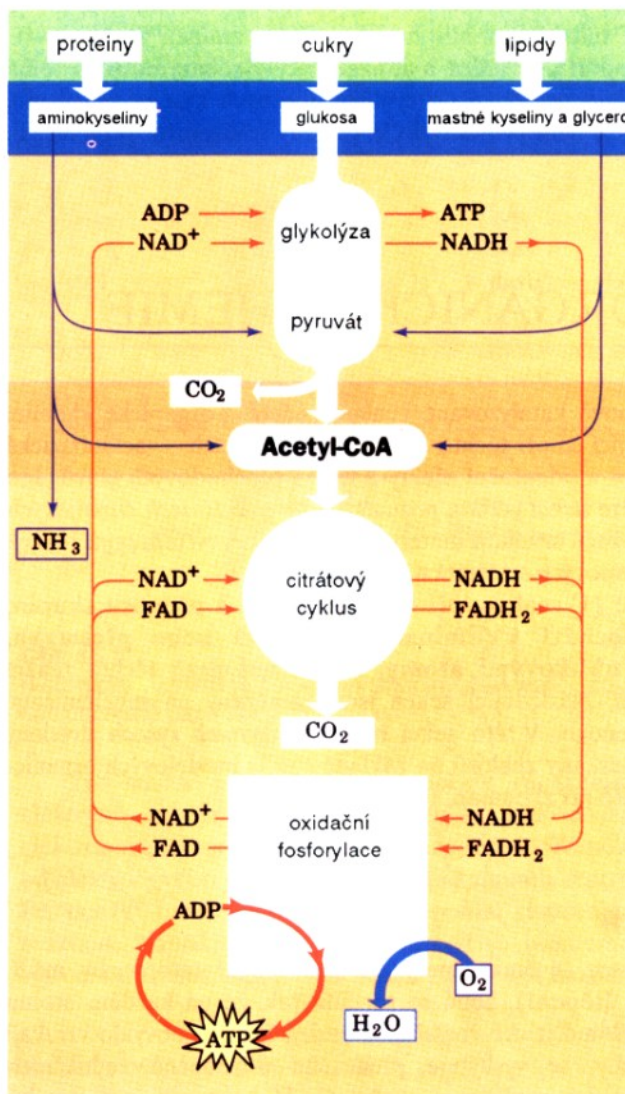
Tripletní charakter genetického kódu byl, objasněn užitím **chemických mutagenů**, které indukují mutace. Před vlastním studiem genetického kódu probereme nejprve tyto látky. Existují dvě hlavní třídy mutací:

1. **Bodové mutace**, při kterých je jeden pár bází nahrazen druhým. Tyto mutace je dále možno rozdělit na:
 - a) **Přechody** (transitions), při kterých je purinová báze nahrazena opět purinem a pyrimidinová báze pyrimidinem.
 - b) **Přesmyky** (transversions), při kterých je purinová báze nahrazena pyrimidinovou a pyrimidinová purinovou.
2. **Inzerčně-deleční mutace**, při kterých dojde k vypadnutí (deleci) nebo vložení (inzerci) jednoho nebo více párů bází ze sekvence DNA.

GENETICKÝ KÓD mRNA U PROKARYOT

UUU	Phe	UCU	Ser	UAU	Tyr	UGU	Cys
UUC		UCC		UAC		UGC	
UUA	Leu	UCA	Ser	UAA	STOP	UGA	STOP
UUG		UCG		UAG		UGG	Trp
CUU	Leu	CCU	Pro	CAU	His	CGU	Arg
CUC		CCC		CAC		CGC	
CUA	Leu	CCA	Pro	CAA	Gln	CGA	Arg
CUG		CCG		CAG		CGG	
AUU	Ile	ACU	Thr	AAU	Asn	AGU	Ser
AUC		ACC		AAC		AGC	
AUA	Ile	ACA	Thr	AAA	Lys	AGA	Arg
AUG	Met	ACG		AAG		AGG	
GUU	Val	GCU	Ala	GAU	Asp	GGU	Gly
GUC		GCC		GAC		GGC	
GUA	Val	GCA	Ala	GAA	Glu	GGA	Gly
GUG		GCG		GAG		GGG	

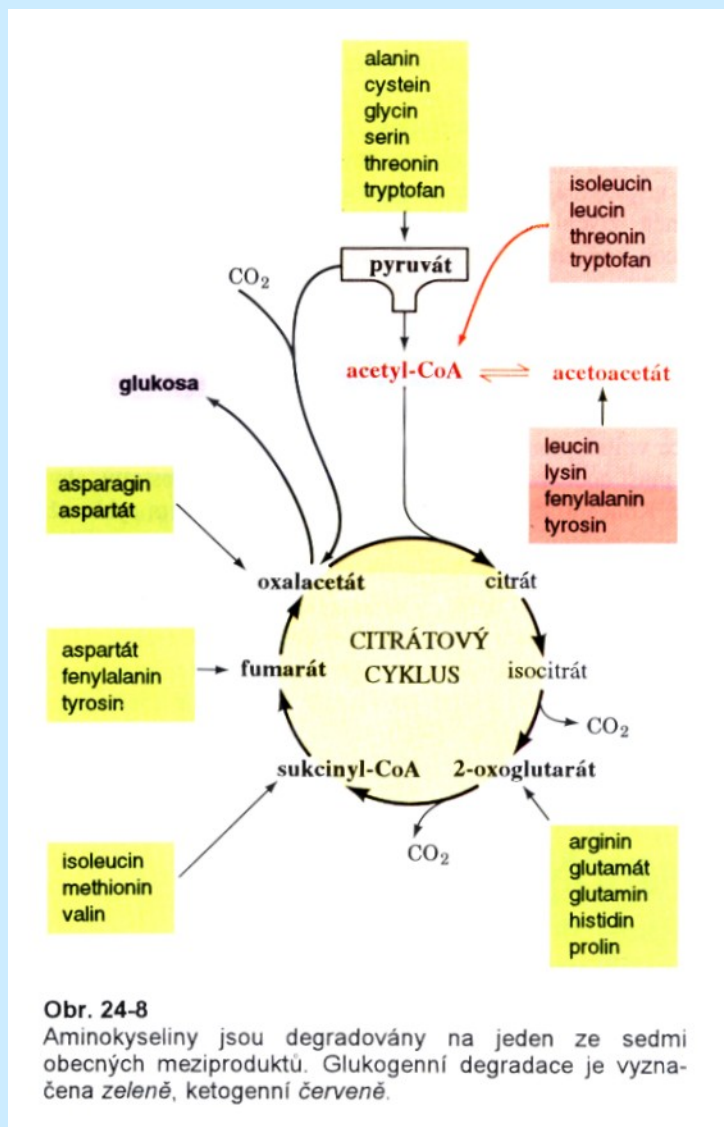
PŘEHLED AEROBNÍHO METABOLISMU



Obr. 15-3

Složité metabolity, jako jsou sacharidy, lipidy a proteiny, jsou nejprve degradovány na své monomerní jednotky, hlavně glukosu, mastné kyseliny a aminokyseliny, a dále na společný meziprodukt – acetyl-CoA. Acetylová skupina je poté oxidována kyslíkem na oxid uhličitý přes citrátový cyklus za současné redukce NAD^+ a FAD . Reoxidace těchto koenzymů přes řetězec přenosu elektronů a oxidační fosforylaci vede ke vzniku vody a ATP.

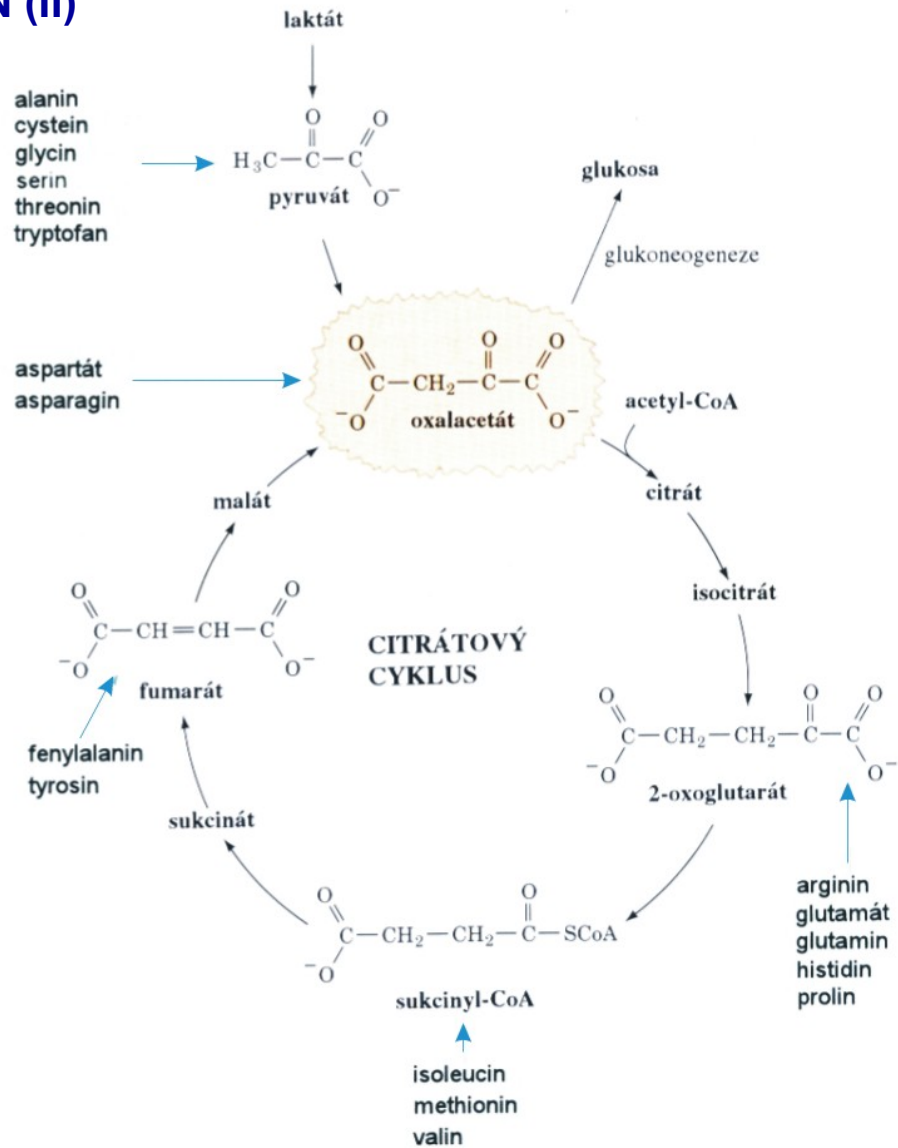
METABOLISMUS AMINOKYSELIN



Obr. 24-8

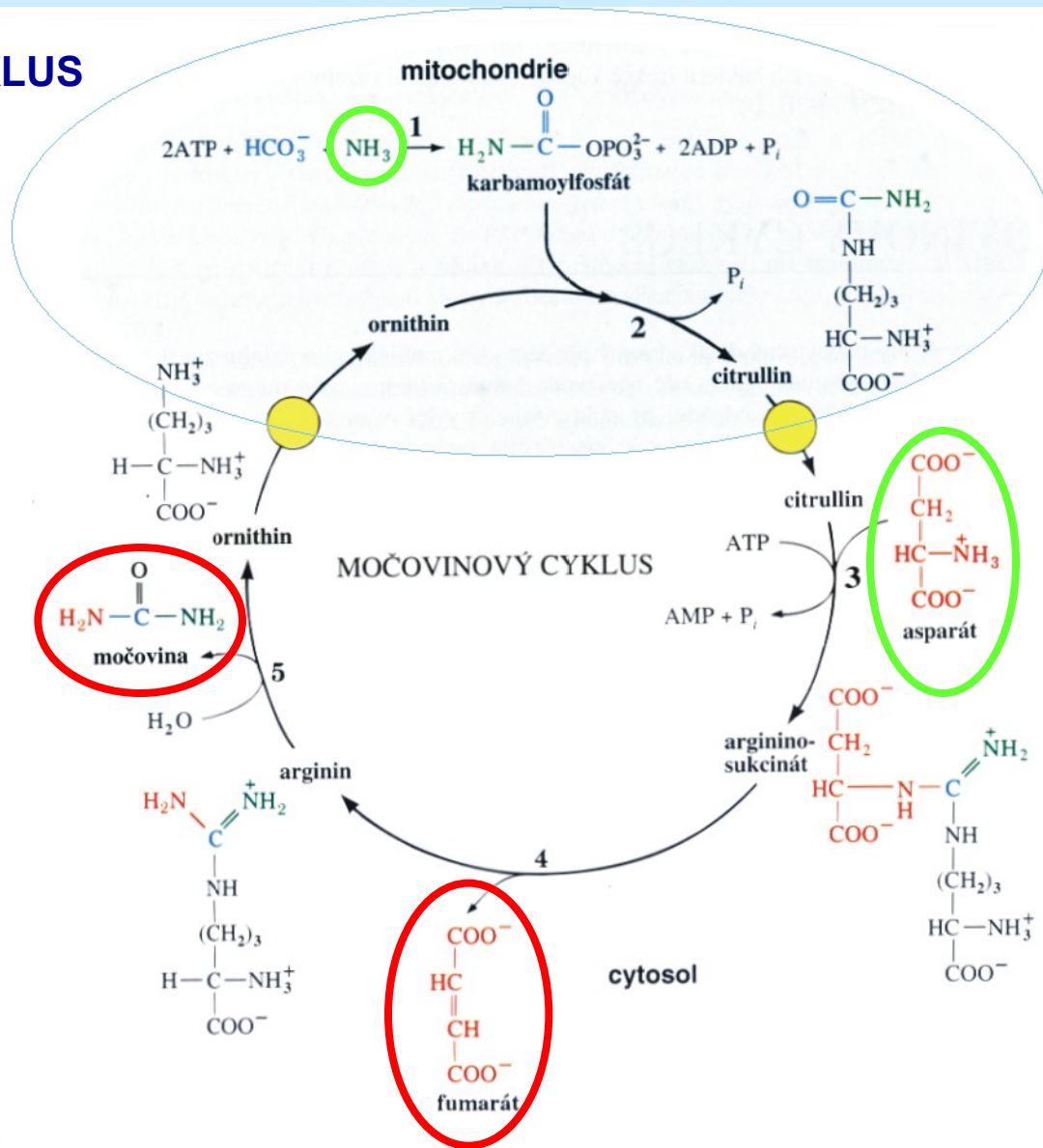
Aminokyseliny jsou degradovány na jeden ze sedmi obecných meziproduktů. Glukogenní degradace je vyznačena zeleně, ketogenní červeně.

METABOLISMUS AMINOKYSELIN (II)



Obr. 21-1
 Metabolické dráhy vzniku oxalacetátu z laktátu, pyruvátu a intermediátů citrátového cyklu. Všechny aminokyseliny kromě leucinu a lysinu mohou být těmito reakcemi převedeny na oxalacetát a dále na glukosu.

MOČOVINOVÝ CYKLUS



Obr. 24-4

Močovinový cyklus probíhá částečně v mitochondriích a částečně v cytosolu, přičemž ornithin a citrullin jsou přes mitochondriální membránu přenášeny specifickými transportními systémy. Cyklus se účastní pět enzymů: (1) karbamoylfosfátsynthetasa, (2) ornithin-karbamoyltransferasa, (3) argininosukcinátsynthetasa, (4) argininosukcinátlyasa a (5) argininaza.